

# SIMULAZIONE NUMERICA DIRETTA (DNS) DEL CAMBIAMENTO DI FASE LIQUIDO-VAPORE CONTRIBUTO ALLA COMPrensIONE DELLA CRISI D'EBOLLIZIONE

Gloria Faccanoni<sup>1,2,3</sup>

G. Allaire<sup>1,2</sup>

<sup>1</sup>École Polytechnique

S. Kokh<sup>2</sup>

<sup>2</sup>CEA

E. Toro<sup>3</sup>

<sup>3</sup>Università di Trento

7 luglio 2006

Università di Trento



## SOMMARIO

Il seminario porta sulla modellizzazione matematica e la simulazione numerica diretta (DNS) del cambiamento di fase liquido-vapore. Proporrò un quadro generale per la costruzione di leggi di stato che descrivono i fluidi soggetti a cambiamento di fase. Queste leggi sono particolarmente adatte ad un approccio di tipo rilassamento; mostreremo infatti che attraverso un rilassamento ritroviamo la legge di stato completa che descrive il miscuglio a saturazione. Questa costruzione è consistente da un lato con la descrizione termodinamica classica degli equilibri liquido-vapore e dall'altro con l'ottimizzazione di un funzionale convesso nello spazio degli stati. Un'analisi matematica di questa costruzione permette di dimostrare che il sistema di Eulero munito di tale legge di stato è strettamente iperbolico. Proporrò quindi uno schema d'approssimazione numerica consistente con questo approccio.

- 1 **CONTESTO ED OBIETTIVI**
  - Pressurized Water Reactor
  - Crisi d'ebollizione
- 2 **MODELLO DNS**
  - Notazioni e relazioni costitutive
  - Transizioni di fase del 1° ordine
    - Ottimizzazione convessa
    - Piano bitangente ed involucro concavo
  - Cinematica del cambiamento di fase
- 3 **SIMULAZIONE**
  - Rilassamento
  - Schema numerico
  - Esempio di legge di stato
    - Test
- 4 **CONCLUSIONI & PROSPETTIVE**

## 1 CONTESTO ED OBIETTIVI

- Pressurized Water Reactor
- Crisi d'ebollizione

## 2 MODELLO DNS

- Notazioni e relazioni costitutive
- Transizioni di fase del 1°ordine
  - Ottimizzazione convessa
  - Piano bitangente ed involuppo concavo
- Cinematica del cambiamento di fase

## 3 SIMULAZIONE

- Rilassamento
- Schema numerico
- Esempio di legge di stato
  - Test

## 4 CONCLUSIONI & PROSPETTIVE

# PROGETTO

**CEA** Commissariat à l'Énergie Atomique

**DEN** Direction de l'Étude Nucléaire

**DM2S** Département de Modélisation Systèmes et Structures

**SFME** Service Fluides numériques, Modélisation et Études

**LETR** Laboratoire d'Études Thermiques des Réacteurs

## 1 CONTESTO ED OBIETTIVI

- Pressurized Water Reactor
- Crisi d'ebollizione

## 2 MODELLO DNS

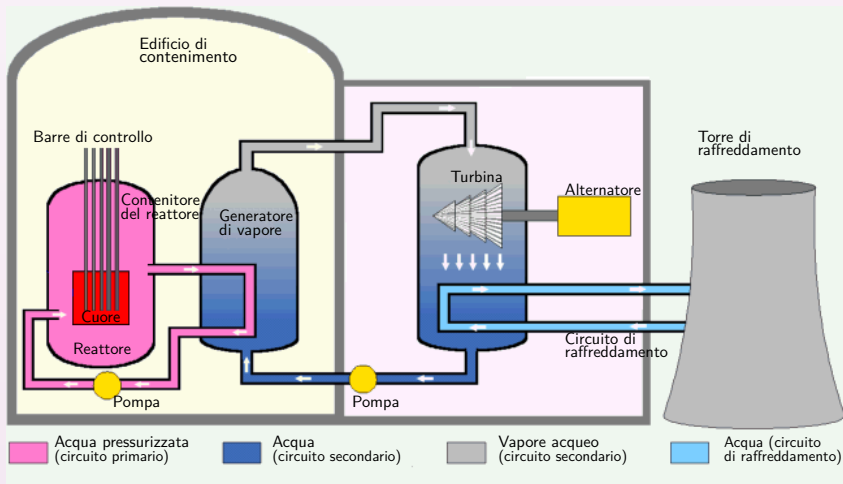
- Notazioni e relazioni costitutive
- Transizioni di fase del 1°ordine
  - Ottimizzazione convessa
  - Piano bitangente ed involuppo concavo
- Cinematica del cambiamento di fase

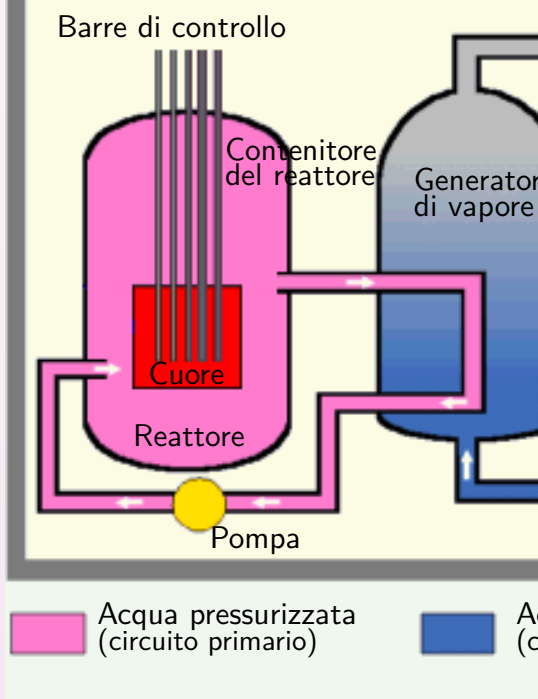
## 3 SIMULAZIONE

- Rilassamento
- Schema numerico
- Esempio di legge di stato
  - Test

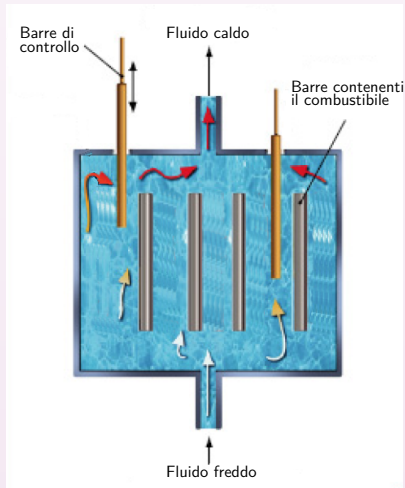
## 4 CONCLUSIONI & PROSPETTIVE

# SCHEMA DI UN PWR PRESSURIZED WATER REACTOR



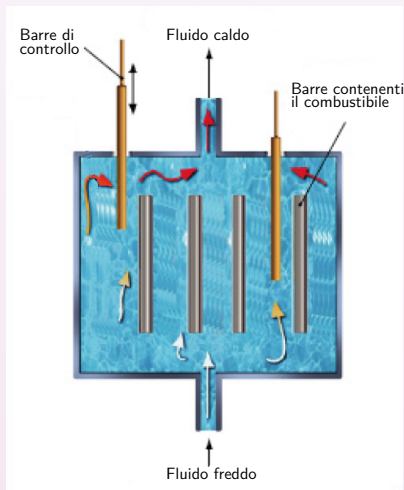


## CUORE DI UN PWR





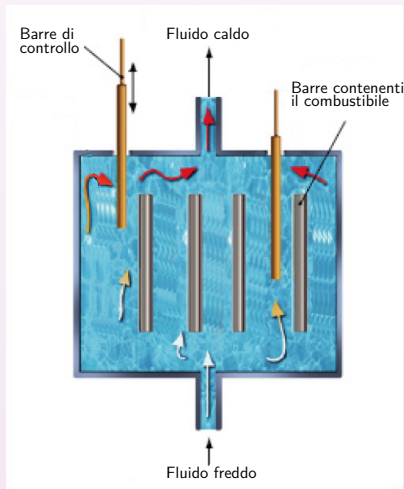
## CUORE DI UN PWR



### Qualche dato:

- barre contenenti il combustibile:  
 $\varnothing \approx 1 \text{ cm} \times 4 \text{ m}$
- $H_2O$   
 moderatore e  
 trasportatore di calore
- fluido stato liquido:  
 $T \approx 320 \text{ }^\circ\text{C} \Rightarrow P \approx 155 \text{ bar}$

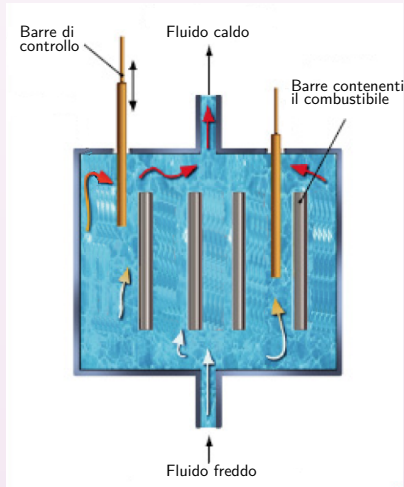
## CUORE DI UN PWR



### Qualche dato:

- barre contenenti il combustibile:  
 $\varnothing \approx 1 \text{ cm} \times 4 \text{ m}$
- $H_2O$   
moderatore e  
trasportatore di calore
- fluido stato liquido:  
 $T \approx 320 \text{ }^\circ\text{C} \Rightarrow P \approx 155 \text{ bar}$

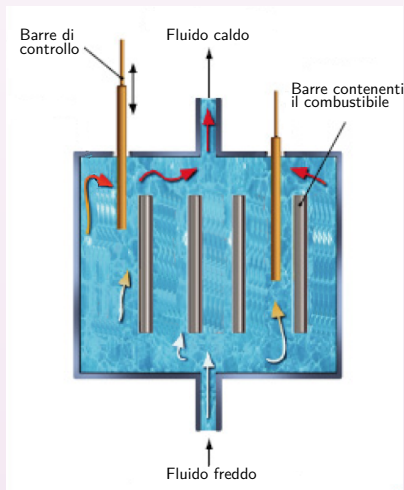
## CUORE DI UN PWR



### Qualche dato:

- barre contenenti il combustibile:  
 $\varnothing \approx 1 \text{ cm} \times 4 \text{ m}$
- $H_2O$   
moderatore e  
trasportatore di calore
- fluido stato liquido:  
 $T \approx 320 \text{ }^\circ\text{C} \Rightarrow P \approx 155 \text{ bar}$

## CUORE DI UN PWR



- barre contenenti il combustibile:  
 $\varnothing \approx 1 \text{ cm} \times 4 \text{ m}$
- $H_2O$   
 moderatore e  
 trasportatore di calore
- fluido stato liquido:  
 $T \approx 320 \text{ }^\circ\text{C} \Rightarrow P \approx 155 \text{ bar}$

⚠ Evitare la crisi d'ebollizione

## 1 CONTESTO ED OBIETTIVI

- Pressurized Water Reactor
- Crisi d'ebollizione

## 2 MODELLO DNS

- Notazioni e relazioni costitutive
- Transizioni di fase del 1°ordine
  - Ottimizzazione convessa
  - Piano bitangente ed involucro concavo
- Cinematica del cambiamento di fase

## 3 SIMULAZIONE

- Rilassamento
- Schema numerico
- Esempio di legge di stato
  - Test

## 4 CONCLUSIONI & PROSPETTIVE

# TRASMISSIONE DEL CALORE IN CAMBIAMENTO DI FASE E CRISI D'EBOLLIZIONE

- **Interesse applicativo / industriale:**

- coefficiente di scambio convettivo elevato

- $P$  costante  $\Rightarrow T$  costante pur avendo  $q$  (flusso termico) elevato.



- **Configurazione:**

trasmissione calore per ebollizione a contatto di una parete

# TRASMISSIONE DEL CALORE IN CAMBIAMENTO DI FASE E CRISI D'EBOLLIZIONE

- **Interesse applicativo / industriale:**

- **coefficiente di scambio convettivo elevato**

- $P$  costante  $\Rightarrow T$  costante pur avendo  $q$  (flusso termico) elevato.



- **Configurazione:**

trasmissione calore per ebollizione a contatto di una parete

# TRASMISSIONE DEL CALORE IN CAMBIAMENTO DI FASE E CRISI D'EBOLLIZIONE

- **Interesse applicativo / industriale:**

- coefficiente di scambio convettivo elevato



- $P$  costante  $\Rightarrow T$  costante pur avendo  $q$  (flusso termico) elevato.

- **Configurazione:**

trasmissione calore per ebollizione a contatto di una parete



## TRASMISSIONE DEL CALORE IN CAMBIAMENTO DI FASE E CRISI D'EBOLLIZIONE

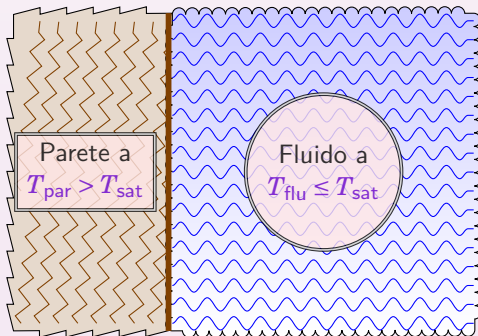
- **Interesse applicativo / industriale:**

- coefficiente di scambio convettivo elevato
- $P$  costante  $\Rightarrow T$  costante pur avendo  $q$  (flusso termico) elevato.



- **Configurazione:**

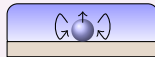
trasmissione calore per ebollizione a contatto di una parete



## TRASMISSIONE DEL CALORE IN CAMBIAMENTO DI FASE E CRISI D'EBOLLIZIONE

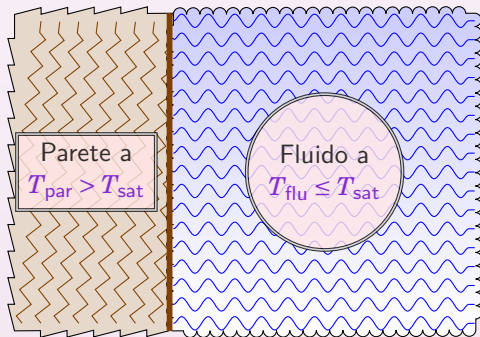
- **Interesse applicativo / industriale:**

- coefficiente di scambio convettivo elevato
- $P$  costante  $\Rightarrow T$  costante pur avendo  $q$  (flusso termico) elevato.



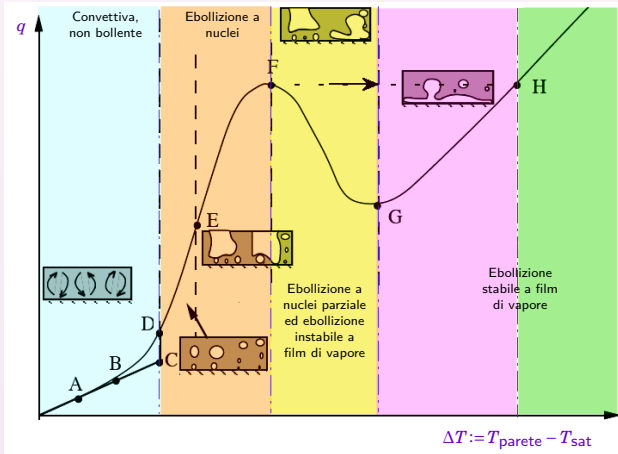
- **Configurazione:**

trasmissione calore per ebollizione a contatto di una parete



$(T_{\text{parete}} - T_{\text{sat}}) \rightarrow q$   
non è lineare  
né monotona!

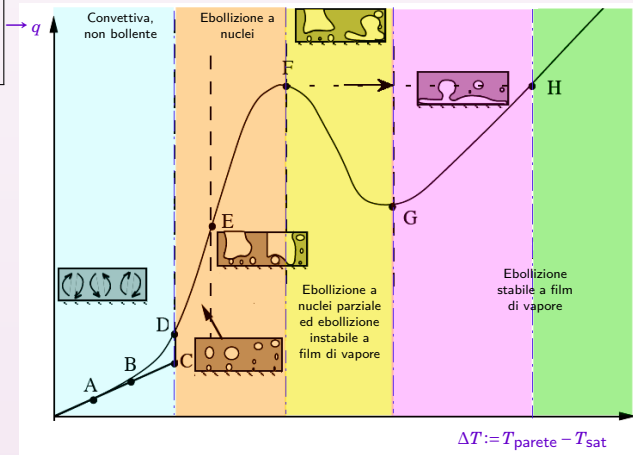
# DIAGRAMMA DI NUKIYAMA



Rappresentazione  
dei diversi  
regimi di  
ebollizione

# DIAGRAMMA DI NUKIYAMA

Flusso termico per unità di superficie della parete

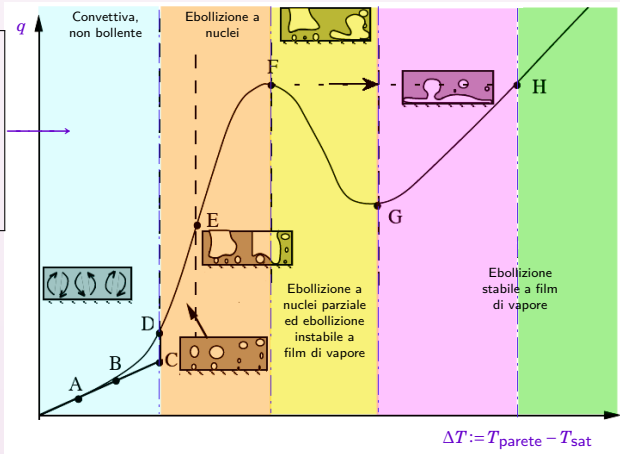


Rappresentazione

dei diversi  
regimi di  
ebollizione

# DIAGRAMMA DI NUKIYAMA

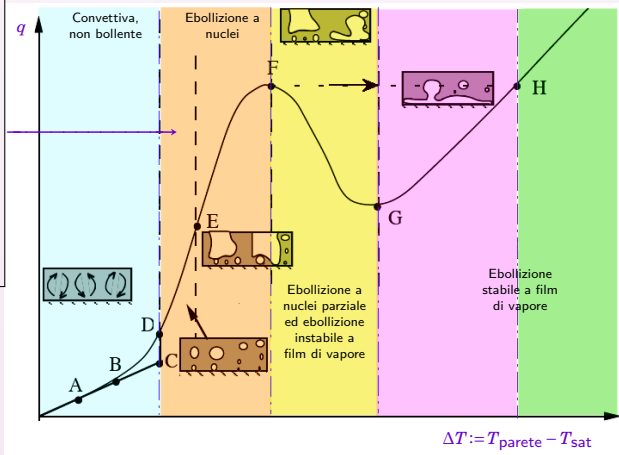
Moti convettivi lenti consentono lo smaltimento del calore senza formazione di bolle



Rappresentazione dei diversi regimi di ebollizione

# DIAGRAMMA DI NUKIYAMA

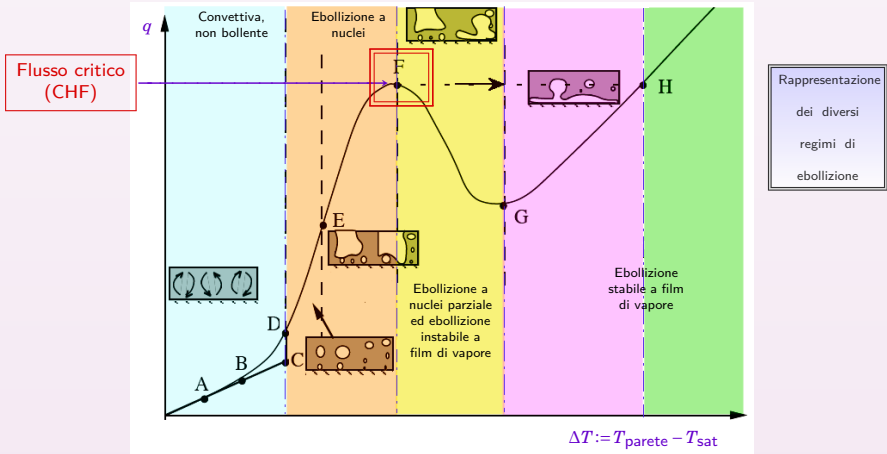
Cominciano a formarsi bolle dai centri di nucleazione (bolle sparse e colonne di vapore), l'agitazione è tumultuosa: con piccoli incrementi di  $T$  si riescono a smaltire elevati  $q$



Rappresentazione

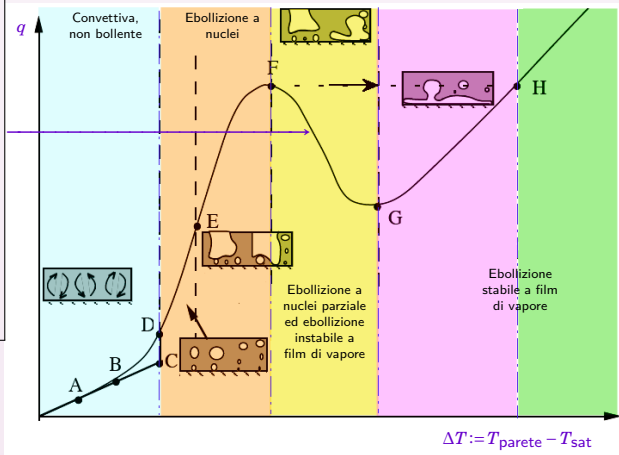
dei diversi  
regimi di  
ebollizione

# DIAGRAMMA DI NUKIYAMA



# DIAGRAMMA DI NUKIYAMA

Innalzando ancora  $T$  si formano chiazze di vapore intorno alla parete che tendono a formare una pellicola isolante di vapore:  $q$  diminuisce anziché aumentare (il vapore è un pessimo conduttore di calore)



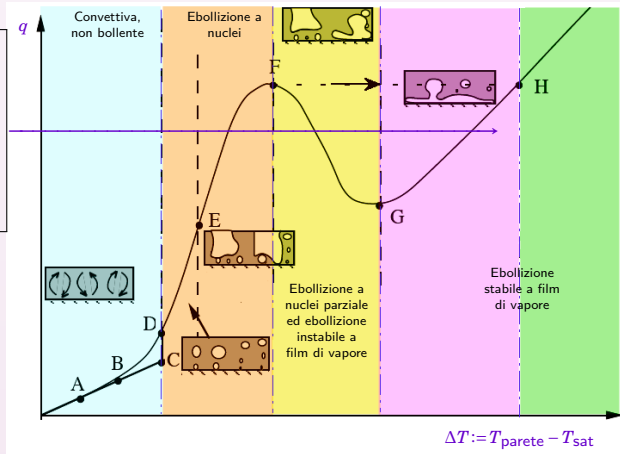
Rappresentazione

dei diversi  
regimi di  
ebollizione



# DIAGRAMMA DI NUKIYAMA

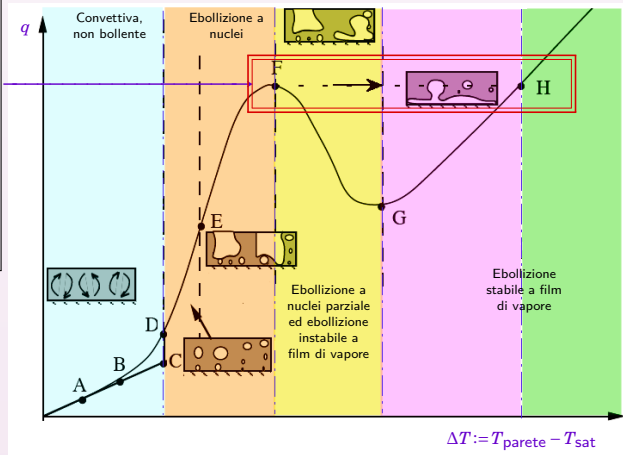
$q$  ricomincia a crescere: malgrado la pellicola con coefficiente di trasmissione di calore elevato la  $\Delta T_{\text{sat}}$  è  $\gg$



Rappresentazione  
dei diversi  
regimi di  
ebollizione

CRISI  
D'EBOLLIZIONE  
PER  
CALEFAZIONE  
Quando non si  
fissa  $\Delta T_{sat}$  ma  
il flusso termico  
 $q$ , si "salta"  
direttamente da  
**F** a **H**: il vapore  
forma  
brutalmente  
una pellicola  
che isola  
termicamente  
la parete dal  
liquido

## DIAGRAMMA DI NUKIYAMA

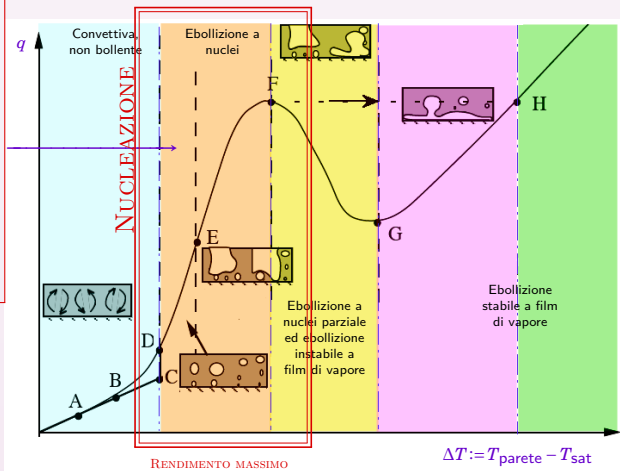


Rappresentazione

dei diversi  
regimi di  
ebollizione

## DIAGRAMMA DI NUKIYAMA

Cominciano a formarsi bolle dai centri di nucleazione (bolle sparse e colonne di vapore), l'agitazione è tumultuosa: con piccoli incrementi di  $T$  si riescono a smaltire elevati  $q$



Rappresentazione  
dei diversi  
regimi di  
ebollizione

# BILANCIO

## Caratteristiche fisiche del fenomeno

- “raffreddamento” di una parete calda:  $T \approx 320^\circ\text{C} \Rightarrow P \approx 155 \text{ bar}$ ,
- assenza reazioni chimiche, detonazioni, ...
- livello di dettaglio: “scala bolle”  $\Rightarrow$  superficie di discontinuità, (LENS, RENS, omogeneizzazione...)
- cinematica delle transizioni di fase liquido-vapore di un fluido semplice (acqua) vicino al CHF (Critical Heat Flux) a causa di un gradiente di temperature e/o di una depressurizzazione,
- tipo di fluidi: comprimibili entrambe le fasi.

## BILANCIO

### Caratteristiche fisiche del fenomeno

- “raffreddamento” di una parete calda:  $T \approx 320\text{ °C} \Rightarrow P \approx 155\text{ bar}$ ,
- **assenza reazioni chimiche, detonazioni, ...**
- livello di dettaglio: “scala bolle”  $\Rightarrow$  superficie di discontinuità, (LENS, RENS, omogeneizzazione...)
- cinematica delle transizioni di fase liquido-vapore di un fluido semplice (acqua) vicino al CHF (Critical Heat Flux) a causa di un gradiente di temperature e/o di una depressurizzazione,
- tipo di fluidi: comprimibili entrambe le fasi.

## BILANCIO

### Caratteristiche fisiche del fenomeno

- “raffreddamento” di una parete calda:  $T \approx 320\text{ °C} \Rightarrow P \approx 155\text{ bar}$ ,
- assenza reazioni chimiche, detonazioni, ...
- livello di dettaglio: “scala bolle”  $\Rightarrow$  superficie di discontinuità, (~~LENS, RENS, omogeneizzazione...~~)
- cinematica delle transizioni di fase liquido-vapore di un fluido semplice (acqua) vicino al CHF (Critical Heat Flux) a causa di un gradiente di temperature e/o di una depressurizzazione,
- tipo di fluidi: comprimibili entrambe le fasi.

## BILANCIO

### Caratteristiche fisiche del fenomeno

- “raffreddamento” di una parete calda:  $T \approx 320\text{ °C} \Rightarrow P \approx 155\text{ bar}$ ,
- assenza reazioni chimiche, detonazioni, . . .
- livello di dettaglio: “scala bolle”  $\Rightarrow$  superficie di discontinuità, (~~LENS, RENS, omogeneizzazione . . .~~)
- cinematica delle transizioni di fase liquido-vapore di un fluido semplice (acqua) vicino al CHF (Critical Heat Flux) a causa di un gradiente di temperature e/o di una depressurizzazione,
- tipo di fluidi: comprimibili entrambe le fasi.

## BILANCIO

### Caratteristiche fisiche del fenomeno

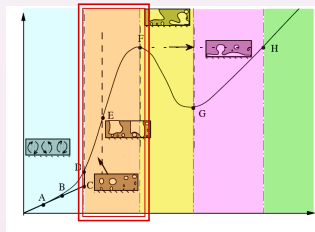
- “raffreddamento” di una parete calda:  $T \approx 320^\circ\text{C} \Rightarrow P \approx 155 \text{ bar}$ ,
- assenza reazioni chimiche, detonazioni, ...
- livello di dettaglio: “scala bolle”  $\Rightarrow$  superficie di discontinuità, (~~LENS, RENS, omogeneizzazione...~~)
- cinematica delle transizioni di fase liquido-vapore di un fluido semplice (acqua) vicino al CHF (Critical Heat Flux) a causa di un gradiente di temperature e/o di una depressurizzazione,
- **tipo di fluidi: comprimibili entrambe le fasi.**



## BILANCIO

**Obiettivi della tesi:** fornire un contributo alla comprensione della crisi d'ebollizione, in particolare sviluppare un modello che possa essere usato per la simulazione numerica delle:

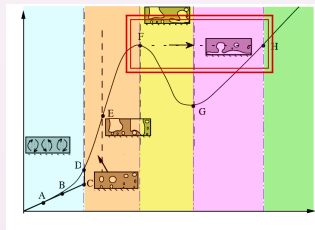
- **nucleazioni:** formazione di bolle di vapore a contatto della parete ed evoluzione vicino al CHF;



## BILANCIO

**Obiettivi della tesi:** fornire un contributo alla comprensione della crisi d'ebollizione, in particolare sviluppare un modello che possa essere usato per la simulazione numerica delle:

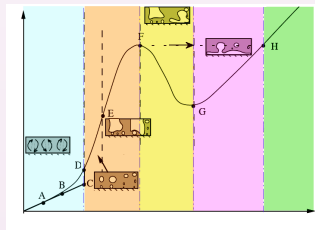
- **nucleazioni:** formazione di bolle di vapore a contatto della parete ed evoluzione vicino al CHF;
- **coalescenze:** fusione (disgregazione) bolle, creazione di una pellicola isolante.



## BILANCIO

**Obiettivi della tesi:** fornire un contributo alla comprensione della crisi d'ebollizione, in particolare sviluppare un modello che possa essere usato per la simulazione numerica delle:

- **nucleazioni:** formazione di bolle di vapore a contatto della parete ed evoluzione vicino al CHF;
- **coalescenze:** fusione (disgregazione) bolle, creazione di una pellicola isolante.



**Difficoltà principale:**

gestire l'interfaccia, in particolare in cambiamento di fase.

## 1 CONTESTO ED OBIETTIVI

- Pressurized Water Reactor
- Crisi d'ebollizione

## 2 MODELLO DNS

- Notazioni e relazioni costitutive
- Transizioni di fase del 1°ordine
  - Ottimizzazione convessa
  - Piano bitangente ed involuppo concavo
- Cinematica del cambiamento di fase

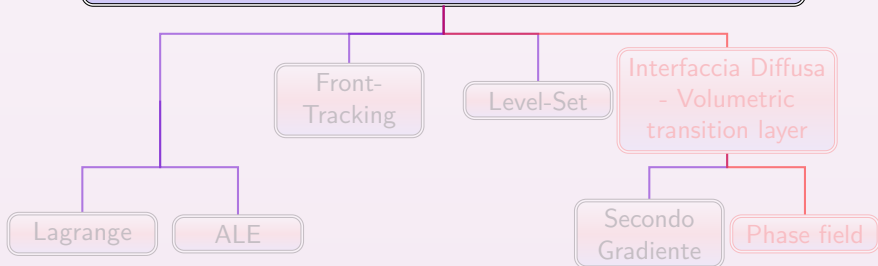
## 3 SIMULAZIONE

- Rilassamento
- Schema numerico
- Esempio di legge di stato
  - Test

## 4 CONCLUSIONI & PROSPETTIVE

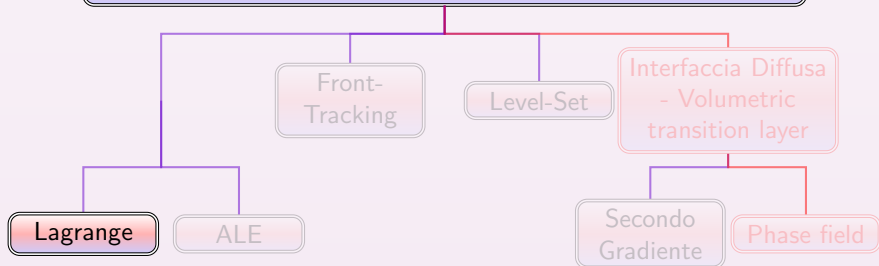
# MODELLIZZAZIONE MATEMATICA DELL'INTERFACCIA LIQUIDO-VAPORE

In  $\mathbb{R}^3 \times \mathbb{R}$  a scala "bolle" l'interfaccia  $\Gamma$  è una superficie di discontinuità di posizione  $(\mathbf{x}, t)$  sconosciuta



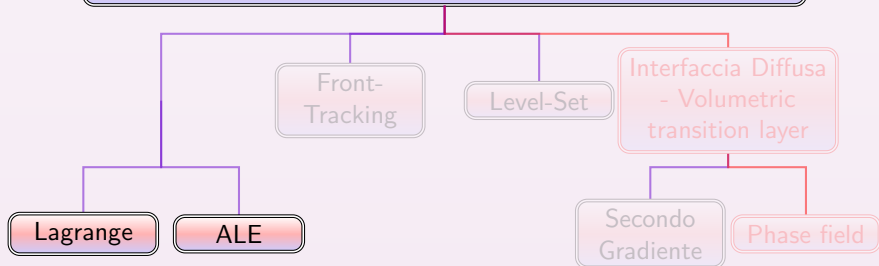
# MODELLIZZAZIONE MATEMATICA DELL'INTERFACCIA LIQUIDO-VAPORE

In  $\mathbb{R}^3 \times \mathbb{R}$  a scala "bolle" l'interfaccia  $\Gamma$  è una superficie di discontinuità di posizione  $(\mathbf{x}, t)$  sconosciuta



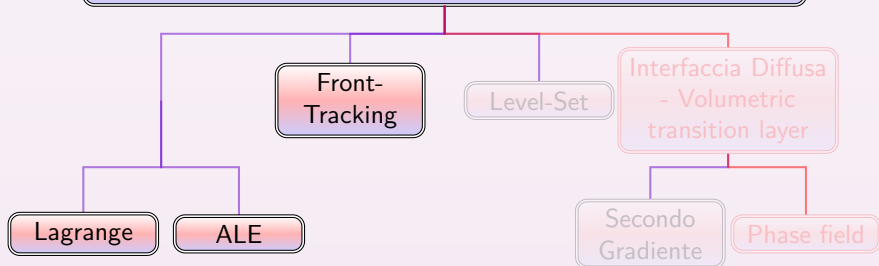
# MODELLIZZAZIONE MATEMATICA DELL'INTERFACCIA LIQUIDO-VAPORE

In  $\mathbb{R}^3 \times \mathbb{R}$  a scala "bolle" l'interfaccia  $\Gamma$  è una superficie di discontinuità di posizione  $(\mathbf{x}, t)$  sconosciuta



# MODELLIZZAZIONE MATEMATICA DELL'INTERFACCIA LIQUIDO-VAPORE

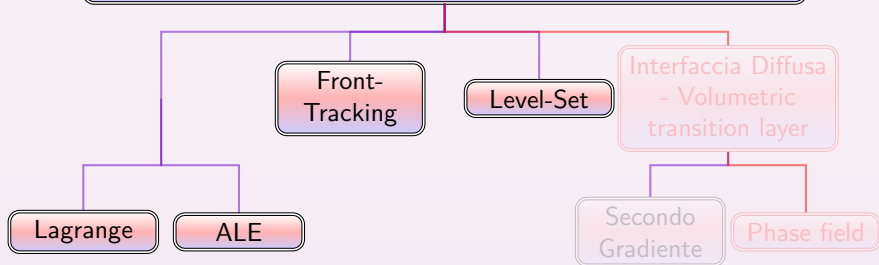
In  $\mathbb{R}^3 \times \mathbb{R}$  a scala "bolle" l'interfaccia  $\Gamma$  è una superficie di discontinuità di posizione  $(\mathbf{x}, t)$  sconosciuta





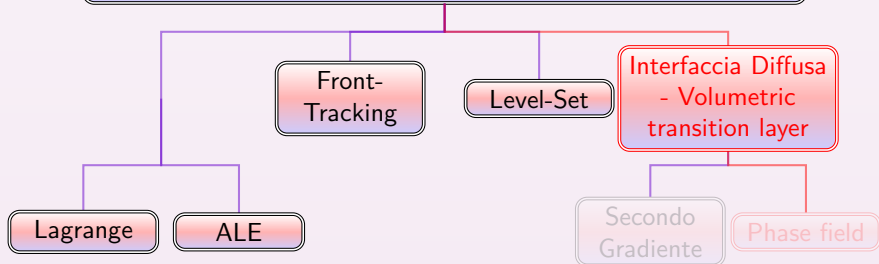
# MODELLIZZAZIONE MATEMATICA DELL'INTERFACCIA LIQUIDO-VAPORE

In  $\mathbb{R}^3 \times \mathbb{R}$  a scala "bolle" l'interfaccia  $\Gamma$  è una superficie di discontinuità di posizione  $(\mathbf{x}, t)$  sconosciuta



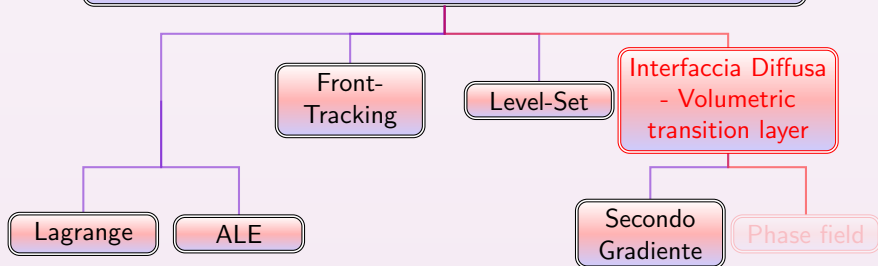
# MODELLIZZAZIONE MATEMATICA DELL'INTERFACCIA LIQUIDO-VAPORE

In  $\mathbb{R}^3 \times \mathbb{R}$  a scala "bolle" l'interfaccia  $\Gamma$  è una superficie di discontinuità di posizione  $(\mathbf{x}, t)$  sconosciuta



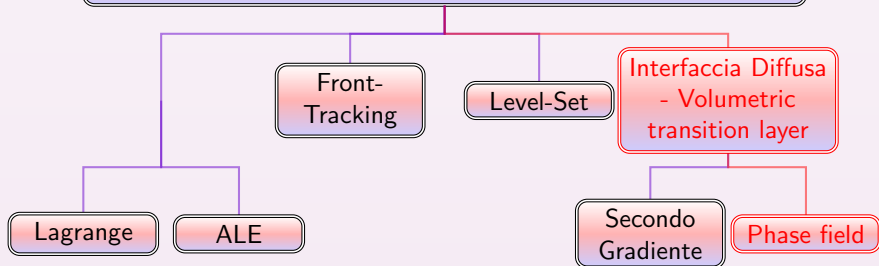
# MODELLIZZAZIONE MATEMATICA DELL'INTERFACCIA LIQUIDO-VAPORE

In  $\mathbb{R}^3 \times \mathbb{R}$  a scala "bolle" l'interfaccia  $\Gamma$  è una superficie di discontinuità di posizione  $(\mathbf{x}, t)$  sconosciuta



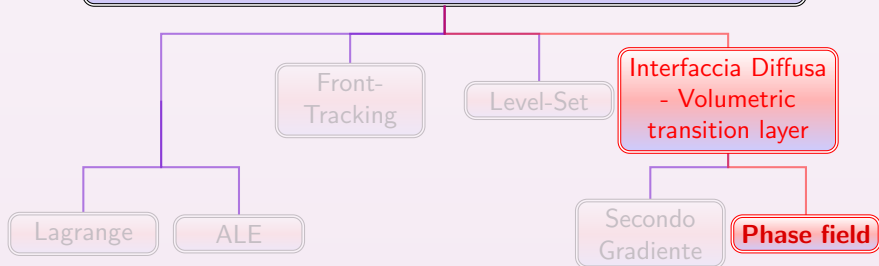
# MODELLIZZAZIONE MATEMATICA DELL'INTERFACCIA LIQUIDO-VAPORE

In  $\mathbb{R}^3 \times \mathbb{R}$  a scala "bolle" l'interfaccia  $\Gamma$  è una superficie di discontinuità di posizione  $(\mathbf{x}, t)$  sconosciuta

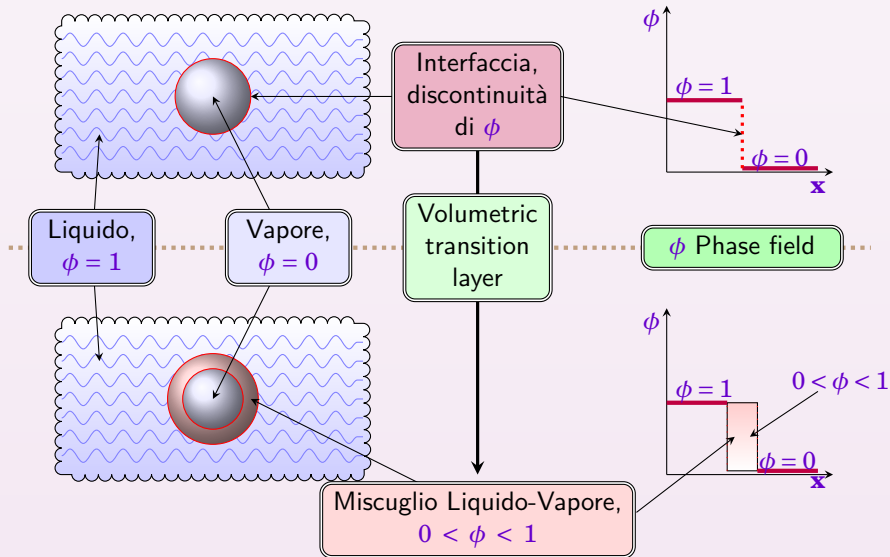


# MODELLIZZAZIONE MATEMATICA DELL'INTERFACCIA LIQUIDO-VAPORE

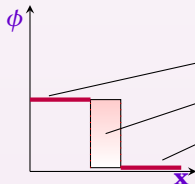
In  $\mathbb{R}^3 \times \mathbb{R}$  a scala "bolle" l'interfaccia  $\Gamma$  è una superficie di discontinuità di posizione  $(\mathbf{x}, t)$  sconosciuta



## PRINCIPIO



## PRINCIPIO



$\phi \in [0, 1]$  è un indicatore di fase:

$$\left\{ \begin{array}{ll} \phi(\mathbf{x}) = 1 & \text{se in } \mathbf{x} \text{ c'è solo la fase 1} \\ 0 < \phi(\mathbf{x}) < 1 & \text{se in } \mathbf{x} \text{ c'è coesistenza delle due fasi} \\ \phi(\mathbf{x}) = 0 & \text{se in } \mathbf{x} \text{ c'è solo la fase 2} \end{array} \right.$$



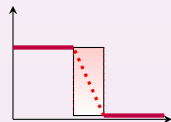
“Costruire” una fisica nella zona di coesistenza

NOSTRE SCELTE:

$\phi \rightsquigarrow$  frazione di volume (o di massa o di energia)

Costruzione: termodinamica classica  $\rightsquigarrow$  linearità

Evoluzione: 2° principio della termodinamica + trasporto



## 1 CONTESTO ED OBIETTIVI

- Pressurized Water Reactor
- Crisi d'ebollizione

## 2 MODELLO DNS

- Notazioni e relazioni costitutive
- Transizioni di fase del 1°ordine
  - Ottimizzazione convessa
  - Piano bitangente ed involuppo concavo
- Cinematica del cambiamento di fase

## 3 SIMULAZIONE

- Rilassamento
- Schema numerico
- Esempio di legge di stato
  - Test

## 4 CONCLUSIONI & PROSPETTIVE



## DUE LEGGI DI STATO PER CIASCUNA FASE PURA $\alpha = 1, 2$

- $\tau_\alpha$  volume specifico,
- $\varepsilon_\alpha$  energia interna specifica;
- $(\tau_\alpha, \varepsilon_\alpha) \mapsto s_\alpha$  entropia specifica (con Hessiana def. stret. neg.);
- $T_\alpha := \left( \frac{\partial s_\alpha}{\partial \varepsilon_\alpha} \Big|_{\tau_\alpha} \right)^{-1} > 0$  temperatura,  $P_\alpha := T_\alpha \frac{\partial s_\alpha}{\partial \tau_\alpha} \Big|_{\varepsilon_\alpha} > 0$  pressione;
- $(P_\alpha, T_\alpha) \mapsto g_\alpha := \varepsilon_\alpha + P_\alpha \tau_\alpha - T_\alpha s_\alpha$  entalpia libera (di Gibbs).

## DUE LEGGI DI STATO PER CIASCUNA FASE PURA $\alpha = 1, 2$

- $\tau_\alpha$  volume specifico,
- $\varepsilon_\alpha$  energia interna specifica;
- $(\tau_\alpha, \varepsilon_\alpha) \mapsto s_\alpha$  entropia specifica (con Hessiana def. stret. neg.);
- $T_\alpha := \left( \frac{\partial s_\alpha}{\partial \varepsilon_\alpha} \Big|_{\tau_\alpha} \right)^{-1} > 0$  temperatura,  $P_\alpha := T_\alpha \frac{\partial s_\alpha}{\partial \tau_\alpha} \Big|_{\varepsilon_\alpha} > 0$  pressione;
- $(P_\alpha, T_\alpha) \mapsto g_\alpha := \varepsilon_\alpha + P_\alpha \tau_\alpha - T_\alpha s_\alpha$  entalpia libera (di Gibbs).

## DUE LEGGI DI STATO PER CIASCUNA FASE PURA $\alpha = 1, 2$

- $\tau_\alpha$  volume specifico,
- $\varepsilon_\alpha$  energia interna specifica;
- $(\tau_\alpha, \varepsilon_\alpha) \mapsto s_\alpha$  entropia specifica (con Hessiana def. stret. neg.);
- $T_\alpha := \left( \frac{\partial s_\alpha}{\partial \varepsilon_\alpha} \Big|_{\tau_\alpha} \right)^{-1} > 0$  temperatura,  $P_\alpha := T_\alpha \frac{\partial s_\alpha}{\partial \tau_\alpha} \Big|_{\varepsilon_\alpha} > 0$  pressione;
- $(P_\alpha, T_\alpha) \mapsto g_\alpha := \varepsilon_\alpha + P_\alpha \tau_\alpha - T_\alpha s_\alpha$  entalpia libera (di Gibbs).

## DUE LEGGI DI STATO PER CIASCUNA FASE PURA $\alpha = 1, 2$

- $\tau_\alpha$  volume specifico,
- $\varepsilon_\alpha$  energia interna specifica;
- $(\tau_\alpha, \varepsilon_\alpha) \mapsto s_\alpha$  entropia specifica (con Hessiana def. stret. neg.);
- $T_\alpha := \left( \frac{\partial s_\alpha}{\partial \varepsilon_\alpha} \Big|_{\tau_\alpha} \right)^{-1} > 0$  temperatura,  $P_\alpha := T_\alpha \frac{\partial s_\alpha}{\partial \tau_\alpha} \Big|_{\varepsilon_\alpha} > 0$  pressione;
- $(P_\alpha, T_\alpha) \mapsto g_\alpha := \varepsilon_\alpha + P_\alpha \tau_\alpha - T_\alpha s_\alpha$  entalpia libera (di Gibbs).

## LEGGE DI STATO PER UN MISCUGLIO DI 2 FLUIDI SENZA CAMBIAMENTO DI FASE

- $\tau := \sum_{\alpha} y_{\alpha} \tau_{\alpha}$  volume;
- $\varepsilon := \sum_{\alpha} y_{\alpha} \varepsilon_{\alpha}$  energia interna;
- $y_{\alpha}$  frazioni di massa,  $\sum_{\alpha} y_{\alpha} = 1$ ;
- $z_{\alpha}$  frazioni di volume,  $\sum_{\alpha} z_{\alpha} = 1$ ;
- $\psi_{\alpha}$  frazioni di energia,  $\sum_{\alpha} \psi_{\alpha} = 1$ ;
- $\frac{1}{\tau} = \rho = \sum_{\alpha} z_{\alpha} \rho_{\alpha}$   
densità;
- $y_{\alpha} \tau_{\alpha} = z_{\alpha} \tau$ ;
- $y_{\alpha} \varepsilon_{\alpha} = \psi_{\alpha} \varepsilon$ ;

## LEGGE DI STATO PER UN MISCUGLIO DI 2 FLUIDI SENZA CAMBIAMENTO DI FASE

- $\tau := \sum_{\alpha} y_{\alpha} \tau_{\alpha}$  volume;
- $\varepsilon := \sum_{\alpha} y_{\alpha} \varepsilon_{\alpha}$  energia interna;
- $y_{\alpha}$  frazioni di massa,  $\sum_{\alpha} y_{\alpha} = 1$ ;
- $z_{\alpha}$  frazioni di volume,  $\sum_{\alpha} z_{\alpha} = 1$ ;
- $\psi_{\alpha}$  frazioni di energia,  $\sum_{\alpha} \psi_{\alpha} = 1$ ;
- $\frac{1}{\tau} = \rho = \sum_{\alpha} z_{\alpha} \rho_{\alpha}$   
densità;
- $y_{\alpha} \tau_{\alpha} = z_{\alpha} \tau$ ;
- $y_{\alpha} \varepsilon_{\alpha} = \psi_{\alpha} \varepsilon$ ;

## LEGGE DI STATO PER UN MISCUGLIO DI 2 FLUIDI SENZA CAMBIAMENTO DI FASE

- $\tau := \sum_{\alpha} y_{\alpha} \tau_{\alpha}$  volume;
- $\varepsilon := \sum_{\alpha} y_{\alpha} \varepsilon_{\alpha}$  energia interna;
- $y_{\alpha}$  frazioni di massa,  $\sum_{\alpha} y_{\alpha} = 1$ ;
- $z_{\alpha}$  frazioni di volume,  $\sum_{\alpha} z_{\alpha} = 1$ ;
- $\psi_{\alpha}$  frazioni di energia,  $\sum_{\alpha} \psi_{\alpha} = 1$ ;
- $\frac{1}{\tau} = \rho = \sum_{\alpha} z_{\alpha} \rho_{\alpha}$   
densità;
- $y_{\alpha} \tau_{\alpha} = z_{\alpha} \tau$ ;
- $y_{\alpha} \varepsilon_{\alpha} = \psi_{\alpha} \varepsilon$ ;

## LEGGE DI STATO PER UN MISCUGLIO DI 2 FLUIDI SENZA CAMBIAMENTO DI FASE

- $\tau := \sum_{\alpha} y_{\alpha} \tau_{\alpha}$  volume;
- $\varepsilon := \sum_{\alpha} y_{\alpha} \varepsilon_{\alpha}$  energia interna;
- $y_{\alpha}$  frazioni di massa,  $\sum_{\alpha} y_{\alpha} = 1$ ;
- $z_{\alpha}$  frazioni di volume,  $\sum_{\alpha} z_{\alpha} = 1$ ;
- $\psi_{\alpha}$  frazioni di energia,  $\sum_{\alpha} \psi_{\alpha} = 1$ ;
- $\frac{1}{\tau} = \rho = \sum_{\alpha} z_{\alpha} \rho_{\alpha}$  densità;
- $y_{\alpha} \tau_{\alpha} = z_{\alpha} \tau$ ;
- $y_{\alpha} \varepsilon_{\alpha} = \psi_{\alpha} \varepsilon$ ;

### Entropia senza cambiamento di fase

$$(\tau, \varepsilon) \mapsto \sigma := \sum_{\alpha} y_{\alpha} s_{\alpha}(\tau_{\alpha}, \varepsilon_{\alpha}) = \sum_{\alpha} y_{\alpha} s_{\alpha} \left( \frac{z_{\alpha}}{y_{\alpha}} \tau, \frac{\psi_{\alpha}}{y_{\alpha}} \varepsilon \right).$$



## 1 CONTESTO ED OBIETTIVI

- Pressurized Water Reactor
- Crisi d'ebollizione

## 2 MODELLO DNS

- Notazioni e relazioni costitutive
- Transizioni di fase del 1°ordine
  - Ottimizzazione convessa
  - Piano bitangente ed involuppo concavo
- Cinematica del cambiamento di fase

## 3 SIMULAZIONE

- Rilassamento
- Schema numerico
- Esempio di legge di stato
  - Test

## 4 CONCLUSIONI & PROSPETTIVE

# TERMODINAMICA DEL CAMBIAMENTO DI FASE

ENTROPIA SENZA C.F.

$$(y, z, \psi, \tau, \varepsilon) \mapsto \sigma$$

NEL MISCUGLIO

$$T_1 = T_2$$

$$P_1 = P_2$$

$$g_1 = g_2$$



$$\tau_1^* \neq \tau_2^*$$

$$\varepsilon_1^* \neq \varepsilon_2^*$$

$$s_1^* \neq s_2^*$$

ENTROPIA ALL'EQUILIBRIO

$$(\tau, \varepsilon) \mapsto s^{eq}$$

# TERMODINAMICA DEL CAMBIAMENTO DI FASE

NEL MISCUGLIO

$$T_1 = T_2$$

$$P_1 = P_2$$

$$g_1 = g_2$$



$$\tau_1^* \neq \tau_2^*$$

$$\varepsilon_1^* \neq \varepsilon_2^*$$

$$s_1^* \neq s_2^*$$

ENTROPIA SENZA C.F.

$$(y, z, \psi, \tau, \varepsilon) \mapsto \sigma$$

ENTROPIA ALL'EQUILIBRIO

$$(\tau, \varepsilon) \mapsto s^{eq}$$

# TERMODINAMICA DEL CAMBIAMENTO DI FASE

NEL MISCUGLIO

$$\begin{aligned} T_1 &= T_2 \\ P_1 &= P_2 \\ g_1 &= g_2 \end{aligned}$$

$$\begin{aligned} \tau_1^* &\neq \tau_2^* \\ \varepsilon_1^* &\neq \varepsilon_2^* \\ s_1^* &\neq s_2^* \end{aligned}$$

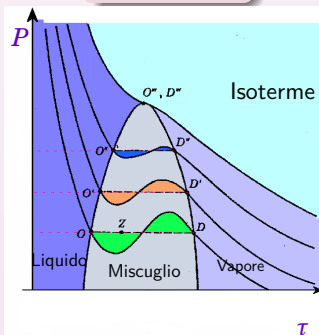
ENTROPIA SENZA C.F.

$$(y, z, \psi, \tau, \varepsilon) \rightarrow \sigma$$

ENTROPIA ALL'EQUILIBRIO

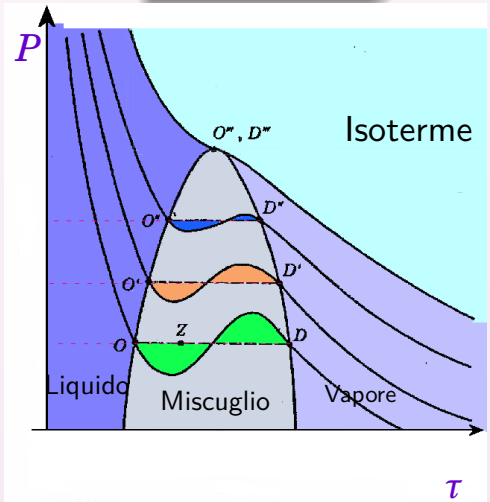
$$(\tau, \varepsilon) \rightarrow s^{eq}$$

Legge di Van Der Waals  
 Costruzione di Maxwell



$$s_1^* \neq s_2^*$$

Legge di Van Der Waals  
Costruzione di Maxwell



$\tau$

## CONSTRUZIONE DI $(\tau, \varepsilon) \mapsto s^{\text{EQ}}$

Trovare  $(\tau_1^*, \varepsilon_1^*)$  t.c., a  $\tau, \varepsilon$  fissati,  $\begin{cases} T_1 = T_2 \\ P_1 = P_2 \\ g_1 = g_2 \end{cases}$

Vincolo:

$$\begin{pmatrix} 1 \\ \tau \\ \varepsilon \end{pmatrix} = \sum_{\alpha} y_{\alpha} \begin{pmatrix} 1 \\ \tau_{\alpha} \\ \varepsilon_{\alpha} \end{pmatrix}$$

## Costruzione di $(\tau, \varepsilon) \mapsto s^{EQ}$

Trovare  $(\tau_1^*, \varepsilon_1^*)$  t.c., a  $\tau, \varepsilon$  fissati,  $\begin{cases} T_1 = T_2 \\ P_1 = P_2 \\ g_1 = g_2 \end{cases}$

Bitangente

Trovare due punti  $A_\alpha^* := (\tau_\alpha^*, \varepsilon_\alpha^*)$  t.c.  
il piano tangente in  $A_1^*$  a  $s_1(\tau, \varepsilon)$  coincide  
con il piano tangente in  $A_2^*$  a  $s_2(\tau, \varepsilon)$

$$y \in (0, 1)$$

$$y \in [0, 1]$$

Vincolo:

$$\begin{pmatrix} 1 \\ \tau \\ \varepsilon \end{pmatrix} = \sum \alpha y_\alpha \begin{pmatrix} 1 \\ \tau_\alpha \\ \varepsilon_\alpha \end{pmatrix}$$

# CONSTRUZIONE DI $(\tau, \varepsilon) \mapsto s^{\text{EQ}}$

Trovare  $(\tau_1^*, \varepsilon_1^*)$  t.c., a  $\tau, \varepsilon$  fissati,  $\begin{cases} T_1 = T_2 \\ P_1 = P_2 \\ g_1 = g_2 \end{cases}$

Bitangente

Trovare due punti  $A_\alpha^* := (\tau_\alpha^*, \varepsilon_\alpha^*)$  t.c.  
il piano tangente in  $A_1^*$  a  $s_1(\tau, \varepsilon)$  coincide  
con il piano tangente in  $A_2^*$  a  $s_2(\tau, \varepsilon)$

$y \in (0, 1)$

$y \in [0, 1]$

$s^{\text{eq}}(\tau, \varepsilon) :=$  inviluppo concavo di  $\max\{s_1(\tau, \varepsilon), s_2(\tau, \varepsilon)\}$

Vincolo:

$$\begin{pmatrix} 1 \\ \tau \\ \varepsilon \end{pmatrix} = \sum \alpha y_\alpha \begin{pmatrix} 1 \\ \tau_\alpha \\ \varepsilon_\alpha \end{pmatrix}$$



# CONSTRUZIONE DI $(\tau, \varepsilon) \mapsto s^{\text{EQ}}$

Trovare  $(\tau_1^*, \varepsilon_1^*)$  t.c., a  $\tau, \varepsilon$  fissati,  $\begin{cases} T_1 = T_2 \\ P_1 = P_2 \\ g_1 = g_2 \end{cases}$

Bitangente

Trovare due punti  $A_\alpha^* := (\tau_\alpha^*, \varepsilon_\alpha^*)$  t.c. il piano tangente in  $A_1^*$  a  $s_1(\tau, \varepsilon)$  coincide con il piano tangente in  $A_2^*$  a  $s_2(\tau, \varepsilon)$

Ottimizzazione

$y \in (0, 1)$

$y \in [0, 1]$

$s^{\text{eq}}(\tau, \varepsilon) :=$  inviluppo concavo di  $\max\{s_1(\tau, \varepsilon), s_2(\tau, \varepsilon)\}$

Trovare  $(\tau_1^*, \varepsilon_1^*)$  t.c.  $s^{\text{eq}} := \max_y \sum_\alpha y_\alpha s_\alpha(\tau_\alpha, \varepsilon_\alpha)$

$S^{\text{eq}} \begin{pmatrix} y \\ y\tau_1 \\ y\varepsilon_1 \end{pmatrix} := - \left\{ \left[ -S_1 \begin{pmatrix} y \\ y\tau_1 \\ y\varepsilon_1 \end{pmatrix} \right] \square \left[ -S_2 \begin{pmatrix} 1-y \\ \tau-y\tau_1 \\ \varepsilon-y\varepsilon_1 \end{pmatrix} \right] \right\}$

$S^{\text{eq}} := - [(-S_1)^* + (-S_2)^*]^*$

Vincolo:

$$\begin{pmatrix} 1 \\ \tau \\ \varepsilon \end{pmatrix} = \sum_\alpha y_\alpha \begin{pmatrix} 1 \\ \tau_\alpha \\ \varepsilon_\alpha \end{pmatrix}$$

# ANALISI DI $(\tau, \varepsilon) \mapsto s^{\text{EQ}}$

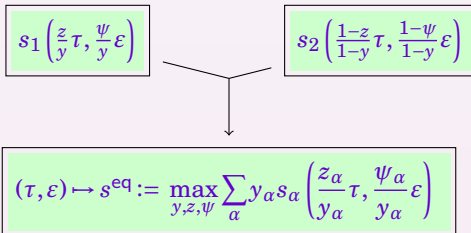
- 1 Ottimizzazione convessa, inf-convoluzione & trasformata di Legendre.
- 2 Piano bitangente & involuppo concavo.

# OTTIMIZZAZIONE CONVESSA

$$s_1 \left( \frac{z}{y} \tau, \frac{\psi}{y} \varepsilon \right)$$

$$s_2 \left( \frac{1-z}{1-y} \tau, \frac{1-\psi}{1-y} \varepsilon \right)$$

## OTTIMIZZAZIONE CONVESSA



# OTTIMIZZAZIONE CONVESSA

$$s_1 \left( \frac{z}{y} \tau, \frac{\psi}{y} \varepsilon \right)$$

$$s_2 \left( \frac{1-z}{1-y} \tau, \frac{1-\psi}{1-y} \varepsilon \right)$$

$$(\tau, \varepsilon) \mapsto s^{\text{eq}} := \max_{y, z, \psi} \sum_{\alpha} y_{\alpha} s_{\alpha} \left( \frac{z_{\alpha}}{y_{\alpha}} \tau, \frac{\psi_{\alpha}}{y_{\alpha}} \varepsilon \right)$$

$$s^{\text{eq}} := \max_{y, z, \psi} \left\{ \sum_{\alpha} S_{\alpha}(y_{\alpha}, z_{\alpha} \tau, \psi_{\alpha} \varepsilon) \right\}$$

# OTTIMIZZAZIONE CONVESSA

$$s_1 \left( \frac{z}{y} \tau, \frac{\psi}{y} \varepsilon \right)$$

$$s_2 \left( \frac{1-z}{1-y} \tau, \frac{1-\psi}{1-y} \varepsilon \right)$$

$$(\tau, \varepsilon) \mapsto s^{\text{eq}} := \max_{y, z, \psi} \sum_{\alpha} y_{\alpha} s_{\alpha} \left( \frac{z_{\alpha}}{y_{\alpha}} \tau, \frac{\psi_{\alpha}}{y_{\alpha}} \varepsilon \right)$$

$$s^{\text{eq}} := \max_{y, z, \psi} \left\{ \sum_{\alpha} S_{\alpha}(y_{\alpha}, z_{\alpha} \tau, \psi_{\alpha} \varepsilon) \right\} = -((-S_1) \square (-S_2))$$

# OTTIMIZZAZIONE CONVESSA

$$s_1 \left( \frac{z}{y} \tau, \frac{\psi}{y} \varepsilon \right)$$

$$s_2 \left( \frac{1-z}{1-y} \tau, \frac{1-\psi}{1-y} \varepsilon \right)$$

$$(\tau, \varepsilon) \mapsto s^{\text{eq}} := \max_{y, z, \psi} \sum_{\alpha} y_{\alpha} s_{\alpha} \left( \frac{z_{\alpha}}{y_{\alpha}} \tau, \frac{\psi_{\alpha}}{y_{\alpha}} \varepsilon \right)$$

$$s^{\text{eq}} := \max_{y, z, \psi} \left\{ \sum_{\alpha} S_{\alpha}(y_{\alpha}, z_{\alpha} \tau, \psi_{\alpha} \varepsilon) \right\} = -((-S_1) \square (-S_2)) = -((-S_1)^* + (-S_2)^*)^*$$

# OTTIMIZZAZIONE CONVESSA

$(\tau, \varepsilon) \mapsto s^{\text{eq}}$  è



# OTTIMIZZAZIONE CONVESSA

$(\tau, \varepsilon) \mapsto s^{\text{eq}}$  è

★ concava;

# OTTIMIZZAZIONE CONVESSA

$(\tau, \varepsilon) \mapsto s^{\text{eq}}$  è

★ concava;

★  $\mathcal{C}^1$ ;

# OTTIMIZZAZIONE CONVESSA

$(\tau, \varepsilon) \mapsto s^{\text{eq}}$  è

★ concava;

★  $\mathcal{C}^1$ ;

★  $\mathcal{C}^2$  q.o.  
(teorema di Alexandrov);

# OTTIMIZZAZIONE CONVESSA

$(\tau, \varepsilon) \mapsto s^{\text{eq}}$  è

★ concava;

★  $\mathcal{C}^1$ ;

★  $\mathcal{C}^2$  q.o.  
(teorema di Alexandrov);

★ unicità del max;

## OTTIMIZZAZIONE CONVESSA

$(\tau, \varepsilon) \mapsto s^{\text{eq}}$  è

★ concava;

★ strettamente?

★  $\mathcal{C}^1$ ;

★  $\mathcal{C}^2$  q.o.  
(teorema di Alexandrov);

★ unicità del max;

## OTTIMIZZAZIONE CONVESSA

$(\tau, \varepsilon) \mapsto s^{\text{eq}}$  è

★ concava;

★ strettamente?

★  $\mathcal{C}^1$ ;

★  $\mathcal{C}^2$  q.o.  
(teorema di Alexandrov);

★ esistenza ed unicità della zona di miscuglio?

★ unicità del max;

## OTTIMIZZAZIONE CONVESSA

$(\tau, \varepsilon) \mapsto s^{\text{eq}}$  è

★ concava;

★ strettamente?

★  $\mathcal{C}^1$ ;

★  $\mathcal{C}^2$  q.o.  
(teorema di Alexandrov);

★ esistenza ed unicità della zona di miscuglio?

★ unicità del max;

★ Iperbolicità del sistema di Eulero?

## IPERBOLICITÀ

$$\partial_t \vec{V} + A(\vec{V}) \operatorname{div} \vec{V} = \vec{0}; \quad A \in \mathcal{M}^{n \times n}.$$

$\lambda_1, \lambda_2, \dots, \lambda_n$  autovalori di  $A$ .

- $\exists \lambda_i \notin \mathbb{R} \rightsquigarrow$  il sistema è *non iperbolico*;
- $\forall i, \lambda_i \in \mathbb{R} \rightsquigarrow$  il sistema è *iperbolico*:
  - $\lambda_i \neq \lambda_j \rightsquigarrow$  il sistema è *strettamente iperbolico*;
  - $\exists \lambda_i$  con molteplicità  $m$  allora:
    - $\dim$  autospazio  $< m \rightsquigarrow$  il sistema è *debolmente iperbolico*,
    - $\dim$  autospazio  $= m \rightsquigarrow$  il sistema è *strettamente iperbolico*.



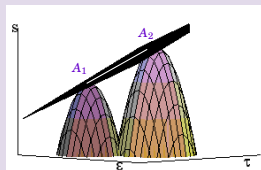
## PIANO BITANGENTE: ESISTENZA ED UNICITÀ DEL MISCUGLIO

### TEOREMA

Sia  $\mathcal{S}_\alpha$  la superficie  $(\tau, \varepsilon) \mapsto s_\alpha(\tau, \varepsilon)$  nello spazio  $(\tau, \varepsilon, s)$ .

Il problema d'ottimizzazione è equivalente a trovare un punto

$A_\alpha := (\tau_\alpha^*, \varepsilon_\alpha^*, s_\alpha^* := s_\alpha(\tau_\alpha^*, \varepsilon_\alpha^*))$  su ciascuna superficie tale che i due iperpiani tangenti in questi punti coincidono.



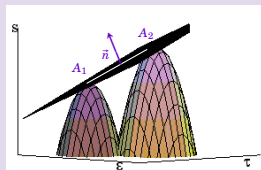
## PIANO BITANGENTE: ESISTENZA ED UNICITÀ DEL MISCUGLIO

### TEOREMA

Sia  $\mathcal{S}_\alpha$  la superficie  $(\tau, \varepsilon) \mapsto s_\alpha(\tau, \varepsilon)$  nello spazio  $(\tau, \varepsilon, s)$ .

Il problema d'ottimizzazione è equivalente a trovare un punto

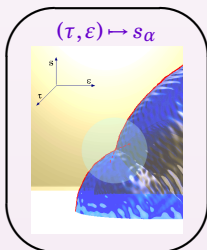
$A_\alpha := (\tau_\alpha^*, \varepsilon_\alpha^*, s_\alpha^* := s_\alpha(\tau_\alpha^*, \varepsilon_\alpha^*))$  su ciascuna superficie tale che i due iperpiani tangenti in questi punti coincidono.



### Osservazione

$$\vec{n} = \left( \frac{1}{T}, \frac{P}{T}, \frac{g}{T} \right) \Rightarrow P, T, g \text{ sono costanti lungo il segmento } \overline{A_1 A_2}.$$

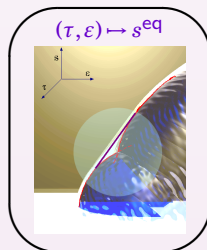
## INVILUPPO CONCAVO



Nel miscuglio  
 $T_1 = T_2$   
 $P_1 = P_2$   
 $g_1 = g_2$

Costruzione:

inviluppo concavo di  
 $\max\{s_1(\tau, \varepsilon), s_2(\tau, \varepsilon)\}$



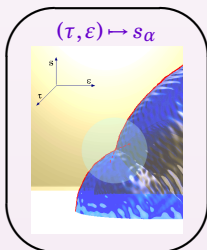
Pertanto  $(\tau, \varepsilon) \mapsto s^{eq}$

- 1 è concava; strettamente nelle fasi pure,  
non strettamente nel miscuglio;
- 2 ha hessiana definita strettamente negativa nelle fasi pure,  
negativa non strettamente nel miscuglio;

☞ ∃! della zona del miscuglio?

☞ Unicità del segmento  $\overline{A_1 A_2}$  per ogni  $(\tau, \varepsilon)$  fissati?

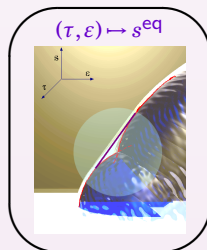
## INVILUPPO CONCAVO



Nel miscuglio  
 $T_1 = T_2$   
 $P_1 = P_2$   
 $g_1 = g_2$

Costruzione:

inviluppo concavo di  
 $\max\{s_1(\tau, \varepsilon), s_2(\tau, \varepsilon)\}$



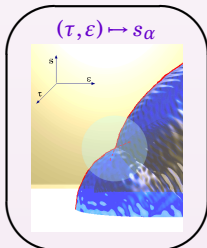
Pertanto  $(\tau, \varepsilon) \mapsto s^{eq}$

- 1 è concava; strettamente nelle fasi pure, non strettamente nel miscuglio;
- 2 ha hessiana definita strettamente negativa nelle fasi pure, negativa non strettamente nel miscuglio;

☞ ∃! della zona del miscuglio?

☞ Unicità del segmento  $\overline{A_1 A_2}$  per ogni  $(\tau, \varepsilon)$  fissati?

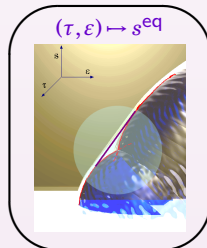
## INVILUPPO CONCAVO



Nel miscuglio  
 $T_1 = T_2$   
 $P_1 = P_2$   
 $g_1 = g_2$

Costruzione:

inviluppo concavo di  
 $\max\{s_1(\tau, \varepsilon), s_2(\tau, \varepsilon)\}$



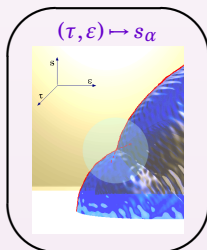
Pertanto  $(\tau, \varepsilon) \mapsto s^{eq}$

- 1 è concava; strettamente nelle fasi pure,  
non strettamente nel miscuglio;
- 2 ha hessiana definita strettamente negativa nelle fasi pure,  
negativa non strettamente nel miscuglio;

☞ ∃! della zona del miscuglio?

☞ Unicità del segmento  $\overline{A_1 A_2}$  per ogni  $(\tau, \varepsilon)$  fissati?

## INVILUPPO CONCAVO



Nel miscuglio

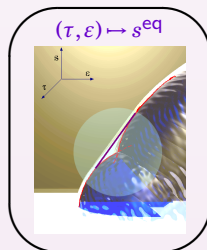
$$T_1 = T_2$$

$$P_1 = P_2$$

$$g_1 = g_2$$

Costruzione:

inviluppo concavo di  
 $\max\{s_1(\tau, \varepsilon), s_2(\tau, \varepsilon)\}$



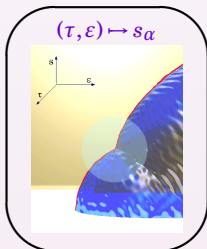
Pertanto  $(\tau, \varepsilon) \mapsto s^{eq}$

- 1 è concava; strettamente nelle fasi pure,  
non strettamente nel miscuglio;
- 2 ha hessiana definita strettamente negativa nelle fasi pure,  
negativa non strettamente nel miscuglio;

☞ ∃! della zona del miscuglio?

☞ Unicità del segmento  $\overline{A_1 A_2}$  per ogni  $(\tau, \varepsilon)$  fissati?

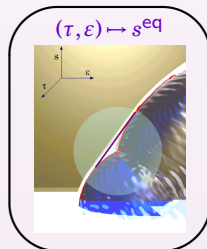
## INVILUPPO CONCAVO



Nel miscuglio  
 $T_1 = T_2$   
 $P_1 = P_2$   
 $g_1 = g_2$

Costruzione:

inviluppo concavo di  
 $\max\{s_1(\tau, \varepsilon), s_2(\tau, \varepsilon)\}$



Pertanto  $(\tau, \varepsilon) \mapsto s^{eq}$

- 1 è concava; strettamente nelle fasi pure,  
non strettamente nel miscuglio;
- 2 ha hessiana definita strettamente negativa nelle fasi pure,  
negativa non strettamente nel miscuglio;

☞  $\exists!$  della zona del miscuglio?

☞ Unicità del segmento  $\overline{A_1 A_2}$  per ogni  $(\tau, \varepsilon)$  fissati?

# ESISTENZA ED UNICITÀ DEL SEGMENTO $\overline{A_1 A_2}$

## TEOREMA

Sia  $\mathbf{w} := (\tau, \varepsilon)$  uno "stato saturo", allora

- ① **UNICITÀ:** *esiste una ed una sola coppia di punti*  
 $\mathbf{M}_1^* := (\mathbf{w}_1^*, s_1^* := s_1(\mathbf{w}_1^*)) \in \mathcal{S}_1$  e  $\mathbf{M}_2^* := (\mathbf{w}_2^*, s_2^* := s_2(\mathbf{w}_2^*)) \in \mathcal{S}_2$  tale che  
 $\mathbf{M} := (\mathbf{w}, s^{\text{eq}}(\mathbf{w}))$  appartiene al segmento  
 $\tau_{12} := (\mathbf{M}_1^*, \mathbf{M}_2^*) = \{y\mathbf{M}_1^* + (1-y)\mathbf{M}_2^* \mid y \in [0, 1]\}$ .

Per ogni punto  $\tau_{12}$  del segmento abbiamo

- ②  $s_{\tau\tau}^{\text{eq}} s_{\varepsilon\varepsilon}^{\text{eq}} = (s_{\tau\varepsilon}^{\text{eq}})^2$ ,  $s_{\tau\tau}^{\text{eq}} = \left(\frac{\varepsilon_1^* - \varepsilon_2^*}{\tau_1^* - \tau_2^*}\right)^2 s_{\varepsilon\varepsilon}^{\text{eq}}$ ;
- ③  $s_{\tau\tau}^{\text{eq}} < 0$ ,  $s_{\varepsilon\varepsilon}^{\text{eq}} < 0$ ,  $s_{\tau\varepsilon}^{\text{eq}} \neq 0$ ;
- ④  $P \neq -\frac{\varepsilon_1^* - \varepsilon_2^*}{\tau_1^* - \tau_2^*}$ ,  $T \neq \frac{\varepsilon_1^* - \varepsilon_2^*}{s_1^* - s_2^*}$ .

► Proof



# ESISTENZA ED UNICITÀ DEL SEGMENTO $\overline{A_1 A_2}$

## TEOREMA

Sia  $\mathbf{w} := (\tau, \varepsilon)$  uno "stato saturo", allora

- 1 UNICITÀ: esiste una ed una sola coppia di punti

$\mathbf{M}_1^* := (\mathbf{w}_1^*, s_1^* := s_1(\mathbf{w}_1^*)) \in \mathcal{S}_1$  e  $\mathbf{M}_2^* := (\mathbf{w}_2^*, s_2^* := s_2(\mathbf{w}_2^*)) \in \mathcal{S}_2$  tale che

$\mathbf{M} := (\mathbf{w}, s^{\text{eq}}(\mathbf{w}))$  appartiene al segmento

$\tau_{12} := (\mathbf{M}_1^*, \mathbf{M}_2^*) = \{y\mathbf{M}_1^* + (1-y)\mathbf{M}_2^* \mid y \in [0, 1]\}$ .

Per ogni punto  $\tau_{12}$  del segmento abbiamo

- 2  $s_{\tau\tau}^{\text{eq}} s_{\varepsilon\varepsilon}^{\text{eq}} = (s_{\tau\varepsilon}^{\text{eq}})^2$ ,  $s_{\tau\tau}^{\text{eq}} = \left( \frac{\varepsilon_1^* - \varepsilon_2^*}{\tau_1^* - \tau_2^*} \right)^2 s_{\varepsilon\varepsilon}^{\text{eq}}$ ;
- 3  $s_{\tau\tau}^{\text{eq}} < 0$ ,  $s_{\varepsilon\varepsilon}^{\text{eq}} < 0$ ,  $s_{\tau\varepsilon}^{\text{eq}} \neq 0$ ;
- 4  $P \neq -\frac{\varepsilon_1^* - \varepsilon_2^*}{\tau_1^* - \tau_2^*}$ ,  $T \neq \frac{\varepsilon_1^* - \varepsilon_2^*}{s_1^* - s_2^*}$ .

► Proof

# ESISTENZA ED UNICITÀ DEL SEGMENTO $\overline{A_1 A_2}$

## TEOREMA

Sia  $\mathbf{w} := (\tau, \varepsilon)$  uno "stato saturo", allora

- 1 UNICITÀ: esiste una ed una sola coppia di punti

$\mathbf{M}_1^* := (\mathbf{w}_1^*, s_1^* := s_1(\mathbf{w}_1^*)) \in \mathcal{S}_1$  e  $\mathbf{M}_2^* := (\mathbf{w}_2^*, s_2^* := s_2(\mathbf{w}_2^*)) \in \mathcal{S}_2$  tale che

$\mathbf{M} := (\mathbf{w}, s^{\text{eq}}(\mathbf{w}))$  appartiene al segmento

$\tau_{12} := (\mathbf{M}_1^*, \mathbf{M}_2^*) = \{y\mathbf{M}_1^* + (1-y)\mathbf{M}_2^* \mid y \in [0, 1]\}$ .

Per ogni punto  $\tau_{12}$  del segmento abbiamo

2  $s_{\tau\tau}^{\text{eq}} s_{\varepsilon\varepsilon}^{\text{eq}} = (s_{\tau\varepsilon}^{\text{eq}})^2$ ,  $s_{\tau\tau}^{\text{eq}} = \left( \frac{\varepsilon_1^* - \varepsilon_2^*}{\tau_1^* - \tau_2^*} \right)^2 s_{\varepsilon\varepsilon}^{\text{eq}}$ ,

3  $s_{\tau\tau}^{\text{eq}} < 0$ ,  $s_{\varepsilon\varepsilon}^{\text{eq}} < 0$ ,  $s_{\tau\varepsilon}^{\text{eq}} \neq 0$ ;

4  $P \neq -\frac{\varepsilon_1^* - \varepsilon_2^*}{\tau_1^* - \tau_2^*}$ ,  $T \neq \frac{\varepsilon_1^* - \varepsilon_2^*}{s_1^* - s_2^*}$ .

► Proof

# ESISTENZA ED UNICITÀ DEL SEGMENTO $\overline{A_1 A_2}$

## TEOREMA

Sia  $\mathbf{w} := (\tau, \varepsilon)$  uno "stato saturo", allora

- 1 UNICITÀ: esiste una ed una sola coppia di punti

$\mathbf{M}_1^* := (\mathbf{w}_1^*, s_1^* := s_1(\mathbf{w}_1^*)) \in \mathcal{S}_1$  e  $\mathbf{M}_2^* := (\mathbf{w}_2^*, s_2^* := s_2(\mathbf{w}_2^*)) \in \mathcal{S}_2$  tale che

$\mathbf{M} := (\mathbf{w}, s^{\text{eq}}(\mathbf{w}))$  appartiene al segmento

$\tau_{12} := (\mathbf{M}_1^*, \mathbf{M}_2^*) = \{y\mathbf{M}_1^* + (1-y)\mathbf{M}_2^* \mid y \in [0, 1]\}$ .

Per ogni punto  $\tau_{12}$  del segmento abbiamo

2  $s_{\tau\tau}^{\text{eq}} s_{\varepsilon\varepsilon}^{\text{eq}} = (s_{\tau\varepsilon}^{\text{eq}})^2$ ,  $s_{\tau\tau}^{\text{eq}} = \left( \frac{\varepsilon_1^* - \varepsilon_2^*}{\tau_1^* - \tau_2^*} \right)^2 s_{\varepsilon\varepsilon}^{\text{eq}}$ ;

3  $s_{\tau\tau}^{\text{eq}} < 0$ ,  $s_{\varepsilon\varepsilon}^{\text{eq}} < 0$ ,  $s_{\tau\varepsilon}^{\text{eq}} \neq 0$ ;

4  $P \neq -\frac{\varepsilon_1^* - \varepsilon_2^*}{\tau_1^* - \tau_2^*}$ ,  $T \neq \frac{\varepsilon_1^* - \varepsilon_2^*}{s_1^* - s_2^*}$ .

► Proof

# ESISTENZA ED UNICITÀ DEL SEGMENTO $\overline{A_1 A_2}$

## TEOREMA

Sia  $\mathbf{w} := (\tau, \varepsilon)$  uno "stato saturo", allora

- 1 UNICITÀ: esiste una ed una sola coppia di punti

$\mathbf{M}_1^* := (\mathbf{w}_1^*, s_1^* := s_1(\mathbf{w}_1^*)) \in \mathcal{S}_1$  e  $\mathbf{M}_2^* := (\mathbf{w}_2^*, s_2^* := s_2(\mathbf{w}_2^*)) \in \mathcal{S}_2$  tale che

$\mathbf{M} := (\mathbf{w}, s^{\text{eq}}(\mathbf{w}))$  appartiene al segmento

$\tau_{12} := (\mathbf{M}_1^*, \mathbf{M}_2^*) = \{y\mathbf{M}_1^* + (1-y)\mathbf{M}_2^* \mid y \in [0, 1]\}$ .

Per ogni punto  $\tau_{12}$  del segmento abbiamo

2  $s_{\tau\tau}^{\text{eq}} s_{\varepsilon\varepsilon}^{\text{eq}} = (s_{\tau\varepsilon}^{\text{eq}})^2$ ,  $s_{\tau\tau}^{\text{eq}} = \left( \frac{\varepsilon_1^* - \varepsilon_2^*}{\tau_1^* - \tau_2^*} \right)^2 s_{\varepsilon\varepsilon}^{\text{eq}}$ ;

3  $s_{\tau\tau}^{\text{eq}} < 0$ ,  $s_{\varepsilon\varepsilon}^{\text{eq}} < 0$ ,  $s_{\tau\varepsilon}^{\text{eq}} \neq 0$ ;

4  $P \neq -\frac{\varepsilon_1^* - \varepsilon_2^*}{\tau_1^* - \tau_2^*}$ ,  $T \neq \frac{\varepsilon_1^* - \varepsilon_2^*}{s_1^* - s_2^*}$ .

► Proof

## ESISTENZA ED UNICITÀ DEL SEGMENTO $\overline{A_1 A_2}$

### TEOREMA

Sia  $\mathbf{w} := (\tau, \varepsilon)$  uno "stato saturo", allora

- 1 UNICITÀ: esiste una ed una sola coppia di punti

$\mathbf{M}_1^* := (\mathbf{w}_1^*, s_1^* := s_1(\mathbf{w}_1^*)) \in \mathcal{S}_1$  e  $\mathbf{M}_2^* := (\mathbf{w}_2^*, s_2^* := s_2(\mathbf{w}_2^*)) \in \mathcal{S}_2$  tale che  $\mathbf{M} := (\mathbf{w}, s^{\text{eq}}(\mathbf{w}))$  appartiene al segmento

$$\tau_{12} := (\mathbf{M}_1^*, \mathbf{M}_2^*) = \{y\mathbf{M}_1^* + (1-y)\mathbf{M}_2^* \mid y \in [0, 1]\}.$$

Per ogni punto  $\tau_{12}$  del segmento abbiamo

- 2  $s_{\tau\tau}^{\text{eq}} s_{\varepsilon\varepsilon}^{\text{eq}} = (s_{\tau\varepsilon}^{\text{eq}})^2$ ,  $s_{\tau\tau}^{\text{eq}} = \left( \frac{\varepsilon_1^* - \varepsilon_2^*}{\tau_1^* - \tau_2^*} \right)^2 s_{\varepsilon\varepsilon}^{\text{eq}}$ ;
- 3  $s_{\tau\tau}^{\text{eq}} < 0$ ,  $s_{\varepsilon\varepsilon}^{\text{eq}} < 0$ ,  $s_{\tau\varepsilon}^{\text{eq}} \neq 0$ ;
- 4  $P \neq -\frac{\varepsilon_1^* - \varepsilon_2^*}{\tau_1^* - \tau_2^*}$ ,  $T \neq \frac{\varepsilon_1^* - \varepsilon_2^*}{s_1^* - s_2^*}$ .

► Proof

# ESISTENZA ED UNICITÀ DEL SEGMENTO $\overline{A_1 A_2}$

## TEOREMA

Sia  $\mathbf{w} := (\tau, \varepsilon)$  uno "stato saturo", allora

- 1 UNICITÀ: esiste una ed una sola coppia di punti

$\mathbf{M}_1^* := (\mathbf{w}_1^*, s_1^* := s_1(\mathbf{w}_1^*)) \in \mathcal{S}_1$  e  $\mathbf{M}_2^* := (\mathbf{w}_2^*, s_2^* := s_2(\mathbf{w}_2^*)) \in \mathcal{S}_2$  tale che

$\mathbf{M} := (\mathbf{w}, s^{\text{eq}}(\mathbf{w}))$  appartiene al segmento

$\tau_{12} := (\mathbf{M}_1^*, \mathbf{M}_2^*) = \{y\mathbf{M}_1^* + (1-y)\mathbf{M}_2^* \mid y \in [0, 1]\}$ .

Per ogni punto  $\tau_{12}$  del segmento abbiamo

2  $s_{\tau\tau}^{\text{eq}} s_{\varepsilon\varepsilon}^{\text{eq}} = (s_{\tau\varepsilon}^{\text{eq}})^2$ ,  $s_{\tau\tau}^{\text{eq}} = \left( \frac{\varepsilon_1^* - \varepsilon_2^*}{\tau_1^* - \tau_2^*} \right)^2 s_{\varepsilon\varepsilon}^{\text{eq}}$ ;

3  $s_{\tau\tau}^{\text{eq}} < 0$ ,  $s_{\varepsilon\varepsilon}^{\text{eq}} < 0$ ,  $s_{\tau\varepsilon}^{\text{eq}} \neq 0$ ;

4  $P \neq -\frac{\varepsilon_1^* - \varepsilon_2^*}{\tau_1^* - \tau_2^*}$ ,  $T \neq \frac{\varepsilon_1^* - \varepsilon_2^*}{s_1^* - s_2^*}$ .

► Proof

## 1 CONTESTO ED OBIETTIVI

- Pressurized Water Reactor
- Crisi d'ebollizione

## 2 MODELLO DNS

- Notazioni e relazioni costitutive
- Transizioni di fase del 1°ordine
  - Ottimizzazione convessa
  - Piano bitangente ed involuppo concavo
- Cinematica del cambiamento di fase

## 3 SIMULAZIONE

- Rilassamento
- Schema numerico
- Esempio di legge di stato
  - Test

## 4 CONCLUSIONI & PROSPETTIVE

## CINEMATICA DEL CAMBIAMENTO DI FASE

### Equazioni di evoluzione

$$\begin{cases} \partial_t \rho + \operatorname{div}(\rho \mathbf{u}) = 0 \\ \partial_t(\rho \mathbf{u}) + \operatorname{div}(\rho \mathbf{u} \otimes \mathbf{u} + P) = 0 \\ \partial_t(\rho \varepsilon) + \operatorname{div}((\rho \varepsilon + P)\mathbf{u}) = 0 \end{cases} \quad \text{con} \quad P(\rho, \varepsilon) = \frac{\partial s^{\text{eq}}}{\partial \varepsilon} \Big|_{\tau} = -\rho^2 \frac{\partial s^{\text{eq}}}{\partial \varepsilon} \Big|_{\rho}$$



## CINEMATICA DEL CAMBIAMENTO DI FASE

### Equazioni di evoluzione

$$\begin{cases} \partial_t \rho + \operatorname{div}(\rho \mathbf{u}) = 0 \\ \partial_t(\rho \mathbf{u}) + \operatorname{div}(\rho \mathbf{u} \otimes \mathbf{u} + P) = 0 \\ \partial_t(\rho e) + \operatorname{div}((\rho e + P)\mathbf{u}) = 0 \end{cases} \quad \text{con} \quad P(\rho, \varepsilon) = \frac{\partial \tau}{\partial s^{\text{eq}}} \Big|_{\varepsilon} = -\rho^2 \frac{\frac{\partial s^{\text{eq}}}{\partial \rho} \Big|_{\varepsilon}}{\frac{\partial \varepsilon}{\partial s^{\text{eq}}} \Big|_{\rho}}$$

- ❶ il sistema d'Eulero munito della legge di stato  $(\tau, \varepsilon) \mapsto s^{\text{eq}}$  è **strettamente iperbolico**, ( $\neq$  P-sistema)

## CINEMATICA DEL CAMBIAMENTO DI FASE

### Equazioni di evoluzione

$$\begin{cases} \partial_t \rho + \operatorname{div}(\rho \mathbf{u}) = 0 \\ \partial_t(\rho \mathbf{u}) + \operatorname{div}(\rho \mathbf{u} \otimes \mathbf{u} + P) = 0 \\ \partial_t(\rho e) + \operatorname{div}((\rho e + P)\mathbf{u}) = 0 \end{cases} \quad \text{con} \quad P(\rho, \varepsilon) = \frac{\partial \tau}{\partial s^{\text{eq}}} \Big|_{\varepsilon} = -\rho^2 \frac{\partial s^{\text{eq}}}{\partial s^{\text{eq}}} \Big|_{\varepsilon} = -\rho^2 \frac{\partial \rho}{\partial s^{\text{eq}}} \Big|_{\varepsilon}$$

$$\frac{\partial s^{\text{eq}}}{\partial \varepsilon} \Big|_{\tau} = -\rho^2 \frac{\partial s^{\text{eq}}}{\partial \varepsilon} \Big|_{\rho}$$

- 1 il sistema d'Eulero munito della legge di stato  $(\tau, \varepsilon) \mapsto s^{\text{eq}}$  è strettamente iperbolico, ( $\neq$  P-sistema)
- 2 la velocità del suono

$$(\tau, \varepsilon) \mapsto c := \sqrt{-\tau^2 T \left( P^2 \frac{\partial^2 s^{\text{eq}}}{\partial \varepsilon^2} - 2P \frac{\partial^2 s^{\text{eq}}}{\partial \varepsilon \partial \tau} + \frac{\partial^2 s^{\text{eq}}}{\partial \tau^2} \right)}$$

è  $\mathcal{C}^0$  a tratti.

## 1 CONTESTO ED OBIETTIVI

- Pressurized Water Reactor
- Crisi d'ebollizione

## 2 MODELLO DNS

- Notazioni e relazioni costitutive
- Transizioni di fase del 1°ordine
  - Ottimizzazione convessa
  - Piano bitangente ed involuppo concavo
- Cinematica del cambiamento di fase

## 3 SIMULAZIONE

- Rilassamento
- Schema numerico
- Esempio di legge di stato
  - Test

## 4 CONCLUSIONI & PROSPETTIVE

## 1 CONTESTO ED OBIETTIVI

- Pressurized Water Reactor
- Crisi d'ebollizione

## 2 MODELLO DNS

- Notazioni e relazioni costitutive
- Transizioni di fase del 1°ordine
  - Ottimizzazione convessa
  - Piano bitangente ed involuppo concavo
- Cinematica del cambiamento di fase

## 3 SIMULAZIONE

- Rilassamento
- Schema numerico
- Esempio di legge di stato
  - Test

## 4 CONCLUSIONI & PROSPETTIVE

# RILASSAMENTO

Sistema all'equilibrio

$$\partial_t \rho + \operatorname{div}(\rho \mathbf{u}) = 0$$

$$\partial_t(\rho \mathbf{u}) + \operatorname{div}(\rho \mathbf{u} \otimes \mathbf{u} + P) = 0$$

$$\partial_t(\rho e) + \operatorname{div}((\rho e + P)\mathbf{u}) = -\operatorname{div}(\vartheta \operatorname{grad} T)$$

$$P(\rho, \varepsilon) = \frac{\frac{\partial s^{\text{eq}}}{\partial \tau} \Big|_{\varepsilon}}{\frac{\partial s^{\text{eq}}}{\partial \varepsilon} \Big|_{\tau}}$$

$\vartheta := \sum_{\alpha} z_{\alpha} \vartheta_{\alpha}$  con  $\vartheta_{\alpha} :=$  conduttività termica della fase  $\alpha$

# RILASSAMENTO

1 velocità, 2 fluidi

$$\begin{cases} \partial_t \rho + \operatorname{div}(\rho \mathbf{u}) = 0 \\ \partial_t(\rho \mathbf{u}) + \operatorname{div}(\rho \mathbf{u} \otimes \mathbf{u} + P) = 0 \\ \partial_t(\rho \varepsilon) + \operatorname{div}((\rho \varepsilon + P)\mathbf{u}) = -\operatorname{div}(\vartheta \mathbf{grad} T) \end{cases}$$

$$P(\rho, \varepsilon) = \frac{\frac{\partial \sigma}{\partial \tau} \Big|_{\varepsilon}}{\frac{\partial \sigma}{\partial \varepsilon} \Big|_{\tau}}$$

Sistema all'equilibrio

$$\partial_t \rho + \operatorname{div}(\rho \mathbf{u}) = 0$$

$$\partial_t(\rho \mathbf{u}) + \operatorname{div}(\rho \mathbf{u} \otimes \mathbf{u} + P) = 0$$

$$\partial_t(\rho \varepsilon) + \operatorname{div}((\rho \varepsilon + P)\mathbf{u}) = -\operatorname{div}(\vartheta \mathbf{grad} T)$$

$$P(\rho, \varepsilon) = \frac{\frac{\partial s^{\text{eq}}}{\partial \tau} \Big|_{\varepsilon}}{\frac{\partial s^{\text{eq}}}{\partial \varepsilon} \Big|_{\tau}}$$

$\vartheta := \sum_{\alpha} z_{\alpha} \vartheta_{\alpha}$  con  $\vartheta_{\alpha} :=$  conduttività termica della fase  $\alpha$

# RILASSAMENTO

1 velocità, 2 fluidi

$$\begin{cases} \partial_t \rho + \operatorname{div}(\rho \mathbf{u}) = 0 \\ \partial_t(\rho \mathbf{u}) + \operatorname{div}(\rho \mathbf{u} \otimes \mathbf{u} + P) = 0 \\ \partial_t(\rho e) + \operatorname{div}((\rho e + P)\mathbf{u}) = -\operatorname{div}(\vartheta \operatorname{grad} T) \end{cases}$$

Solo nel miscuglio

$$\begin{cases} \partial_t z + \mathbf{u} \cdot \operatorname{grad} z = \\ \partial_t y + \mathbf{u} \cdot \operatorname{grad} y = \\ \partial_t \psi + \mathbf{u} \cdot \operatorname{grad} \psi = \end{cases}$$

$$P(\rho, \varepsilon) = \frac{\left. \frac{\partial \sigma}{\partial \tau} \right|_{\varepsilon}}{\left. \frac{\partial \sigma}{\partial \varepsilon} \right|_{\tau}}$$

Sistema all'equilibrio

$$\begin{cases} \partial_t \rho + \operatorname{div}(\rho \mathbf{u}) = 0 \\ \partial_t(\rho \mathbf{u}) + \operatorname{div}(\rho \mathbf{u} \otimes \mathbf{u} + P) = 0 \\ \partial_t(\rho e) + \operatorname{div}((\rho e + P)\mathbf{u}) = -\operatorname{div}(\vartheta \operatorname{grad} T) \end{cases}$$

$$P(\rho, \varepsilon) = \frac{\left. \frac{\partial s^{\text{eq}}}{\partial \tau} \right|_{\varepsilon}}{\left. \frac{\partial s^{\text{eq}}}{\partial \varepsilon} \right|_{\tau}}$$

$\vartheta := \sum_{\alpha} z_{\alpha} \vartheta_{\alpha}$  con  $\vartheta_{\alpha} :=$  conduttività termica della fase  $\alpha$

# RILASSAMENTO

1 velocità, 2 fluidi

$$\begin{cases} \partial_t \rho + \operatorname{div}(\rho \mathbf{u}) = 0 \\ \partial_t(\rho \mathbf{u}) + \operatorname{div}(\rho \mathbf{u} \otimes \mathbf{u} + P) = 0 \\ \partial_t(\rho e) + \operatorname{div}((\rho e + P)\mathbf{u}) = -\operatorname{div}(\vartheta \operatorname{grad} T) \end{cases}$$

Solo nel miscuglio

$$\begin{cases} \partial_t z + \mathbf{u} \cdot \operatorname{grad} z = \mu_1 \left( \frac{P_2}{T_2} - \frac{P_1}{T_1} \right) \\ \partial_t y + \mathbf{u} \cdot \operatorname{grad} y = \mu_2 \left( \frac{g_1}{T_1} - \frac{g_2}{T_2} \right) \frac{1}{\rho} \\ \partial_t \psi + \mathbf{u} \cdot \operatorname{grad} \psi = \mu_3 \left( \frac{1}{T_1} - \frac{1}{T_2} \right) \varepsilon \end{cases}$$

$$P(\rho, \varepsilon) = \frac{\partial \sigma}{\partial \tau} \Big|_{\varepsilon} \\ \frac{\partial \sigma}{\partial \varepsilon} \Big|_{\tau}$$

Sistema all'equilibrio

$$\begin{cases} \partial_t \rho + \operatorname{div}(\rho \mathbf{u}) = 0 \\ \partial_t(\rho \mathbf{u}) + \operatorname{div}(\rho \mathbf{u} \otimes \mathbf{u} + P) = 0 \\ \partial_t(\rho e) + \operatorname{div}((\rho e + P)\mathbf{u}) = -\operatorname{div}(\vartheta \operatorname{grad} T) \end{cases}$$

$$P(\rho, \varepsilon) = \frac{\partial s^{\text{eq}}}{\partial \tau} \Big|_{\varepsilon} \\ \frac{\partial s^{\text{eq}}}{\partial \varepsilon} \Big|_{\tau}$$

$\frac{1}{\mu_i}$  := parametri di rilassamento / tempi di ritorno all'equilibrio.

$\vartheta := \sum_{\alpha} z_{\alpha} \vartheta_{\alpha}$  con  $\vartheta_{\alpha} :=$  conduttività termica della fase  $\alpha$



# RILASSAMENTO

1 velocità, 2 fluidi

$$\begin{cases} \partial_t \rho + \operatorname{div}(\rho \mathbf{u}) = 0 \\ \partial_t(\rho \mathbf{u}) + \operatorname{div}(\rho \mathbf{u} \otimes \mathbf{u} + P) = 0 \\ \partial_t(\rho e) + \operatorname{div}((\rho e + P)\mathbf{u}) = -\operatorname{div}(\vartheta \operatorname{grad} T) \end{cases}$$

Solo nel miscuglio

$$\begin{cases} \partial_t z + \mathbf{u} \cdot \operatorname{grad} z = \mu_1 \left( \frac{P_2}{T_2} - \frac{P_1}{T_1} \right) \\ \partial_t y + \mathbf{u} \cdot \operatorname{grad} y = \mu_2 \left( \frac{g_1}{T_1} - \frac{g_2}{T_2} \right) \frac{1}{\rho} \\ \partial_t \psi + \mathbf{u} \cdot \operatorname{grad} \psi = \mu_3 \left( \frac{1}{T_1} - \frac{1}{T_2} \right) \varepsilon \end{cases}$$

$$P(\rho, \varepsilon) = \frac{\partial \sigma}{\partial \tau} \Big|_{\varepsilon} \\ \frac{\partial \sigma}{\partial \varepsilon} \Big|_{\tau}$$

Formale  
 $\mu_1, \mu_2, \mu_3 \rightarrow +\infty$

Sistema all'equilibrio

$$\begin{cases} \partial_t \rho + \operatorname{div}(\rho \mathbf{u}) = 0 \\ \partial_t(\rho \mathbf{u}) + \operatorname{div}(\rho \mathbf{u} \otimes \mathbf{u} + P) = 0 \\ \partial_t(\rho e) + \operatorname{div}((\rho e + P)\mathbf{u}) = -\operatorname{div}(\vartheta \operatorname{grad} T) \end{cases}$$

$$P(\rho, \varepsilon) = \frac{\partial s^{\text{eq}}}{\partial \varepsilon} \Big|_{\tau} \Big|_{\rho}$$

$\frac{1}{\mu_i} :=$  parametri di rilassamento / tempi di ritorno all'equilibrio.

$\vartheta := \sum_{\alpha} z_{\alpha} \vartheta_{\alpha}$  con  $\vartheta_{\alpha} :=$  conduttività termica della fase  $\alpha$

## 1 CONTESTO ED OBIETTIVI

- Pressurized Water Reactor
- Crisi d'ebollizione

## 2 MODELLO DNS

- Notazioni e relazioni costitutive
- Transizioni di fase del 1°ordine
  - Ottimizzazione convessa
  - Piano bitangente ed involuppo concavo
- Cinematica del cambiamento di fase

## 3 SIMULAZIONE

- Rilassamento
- Schema numerico
- Esempio di legge di stato
  - Test

## 4 CONCLUSIONI & PROSPETTIVE

# SCHEMA DI RILASSAMENTO PER IL MODELLO BIFLUIDO

$\mathbf{V}^n \xrightarrow{\text{PASSO CONVETTIVO}} \mathbf{V}^{n+1/3}$

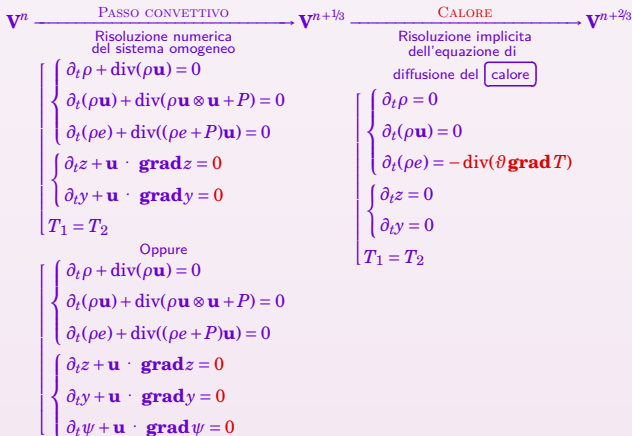
Risoluzione numerica  
 del sistema omogeneo

$$\left\{ \begin{array}{l} \partial_t \rho + \operatorname{div}(\rho \mathbf{u}) = 0 \\ \partial_t(\rho \mathbf{u}) + \operatorname{div}(\rho \mathbf{u} \otimes \mathbf{u} + P) = 0 \\ \partial_t(\rho e) + \operatorname{div}((\rho e + P)\mathbf{u}) = 0 \\ \partial_t z + \mathbf{u} \cdot \mathbf{grad} z = 0 \\ \partial_t y + \mathbf{u} \cdot \mathbf{grad} y = 0 \\ T_1 = T_2 \end{array} \right.$$

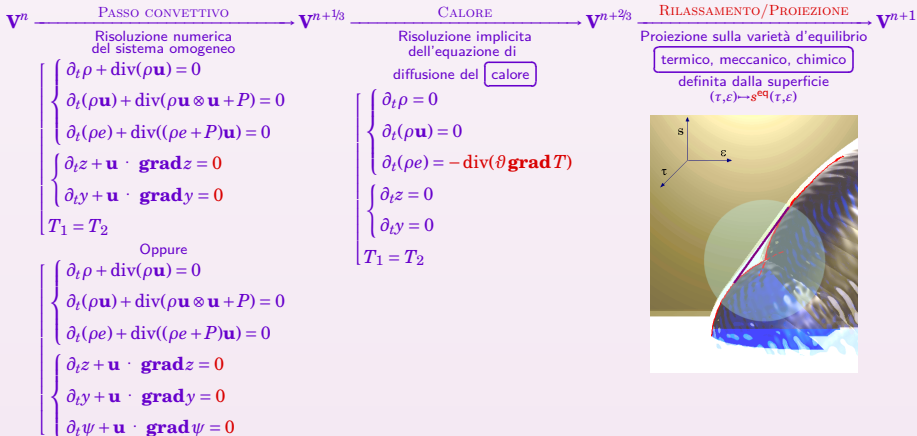
Oppure

$$\left\{ \begin{array}{l} \partial_t \rho + \operatorname{div}(\rho \mathbf{u}) = 0 \\ \partial_t(\rho \mathbf{u}) + \operatorname{div}(\rho \mathbf{u} \otimes \mathbf{u} + P) = 0 \\ \partial_t(\rho e) + \operatorname{div}((\rho e + P)\mathbf{u}) = 0 \\ \partial_t z + \mathbf{u} \cdot \mathbf{grad} z = 0 \\ \partial_t y + \mathbf{u} \cdot \mathbf{grad} y = 0 \\ \partial_t \psi + \mathbf{u} \cdot \mathbf{grad} \psi = 0 \end{array} \right.$$

# SCHEMA DI RILASSAMENTO PER IL MODELLO BIFLUIDO



# SCHEMA DI RILASSAMENTO PER IL MODELLO BIFLUIDO



## 1 CONTESTO ED OBIETTIVI

- Pressurized Water Reactor
- Crisi d'ebollizione

## 2 MODELLO DNS

- Notazioni e relazioni costitutive
- Transizioni di fase del 1°ordine
  - Ottimizzazione convessa
  - Piano bitangente ed involuppo concavo
- Cinematica del cambiamento di fase

## 3 SIMULAZIONE

- Rilassamento
- Schema numerico
- Esempio di legge di stato
  - Test

## 4 CONCLUSIONI & PROSPETTIVE

## CASO DI DUE GAS PERFETTI

### Leggi di stato

$$s_\alpha = c_{v_\alpha} \log(\varepsilon_\alpha (\tau_\alpha)^{\gamma_\alpha - 1}) + s_\alpha^0 \quad \text{con} \quad \varepsilon_\alpha = c_{v_\alpha} T_\alpha$$

$s_\alpha^0$  stato termodinamico di riferimento (non lede la generalità supporre  $s_\alpha^0 = 0$ ).

## CASO DI DUE GAS PERFETTI

### Leggi di stato

$$s_\alpha = c_{v\alpha} \log(\varepsilon_\alpha (\tau_\alpha)^{\gamma_\alpha - 1}) + s_\alpha^0 \quad \text{con} \quad \varepsilon_\alpha = c_{v\alpha} T_\alpha$$

$s_\alpha^0$  stato termodinamico di riferimento (non lede la generalità supporre  $s_\alpha^0 = 0$ ).

### Transizione di fase del 1° ordine

~~$$\begin{aligned} \varepsilon_1^* &= \varepsilon_2^* & \Leftrightarrow & c_{v1} = c_{v2}, \gamma_1 \neq \gamma_2; \\ s_1^* &= s_2^* & \Leftrightarrow & c_{v1} \neq c_{v2}, c_{v1}(\gamma_1 - 1) = c_{v2}(\gamma_2 - 1); \\ \tau_1^* &= \tau_2^* & \Leftrightarrow & c_{v1} \neq c_{v2}, c_{p1} = c_{p2}. \end{aligned}$$~~

$$c_{v1} \neq c_{v2}$$

$$c_{v1}(\gamma_1 - 1) \neq c_{v2}(\gamma_2 - 1)$$

$$c_{v1}\gamma_1 \neq c_{v2}\gamma_2$$



## TAPPA DI PROIEZIONE

Equivale alla risoluzione del sistema:

$$\left\{ \begin{array}{l} T_1 = T_2 \\ (\gamma_1 - 1)c_{v_1}\tau_2 = (\gamma_2 - 1)c_{v_2}\tau_1 \\ c_{v_1} \left[ \log(\varepsilon_1 \tau_1^{\gamma_1 - 1}) - \gamma_1 \right] = c_{v_2} \left[ \log(\varepsilon_2 \tau_2^{\gamma_2 - 1}) - \gamma_2 \right] \end{array} \right.$$

con i vincoli

$$\begin{pmatrix} 1 \\ \tau \\ \varepsilon \end{pmatrix} = \sum_{\alpha=1,2} y_{\alpha} \begin{pmatrix} 1 \\ \tau_{\alpha} \\ \varepsilon_{\alpha} \end{pmatrix}$$

## CALCOLO “ESATTO” DELLA PROIEZIONE

$$\tau_{\alpha}^* = A_{\alpha}(T^*)^B$$

dove

$$\left\{ \begin{array}{l} B = \frac{c_{v2} - c_{v1}}{(\gamma_1 - 1)c_{v1} - (\gamma_2 - 1)c_{v2}} \\ A_1 = \left[ \frac{(c_{v2})^{c_{v2}}}{(c_{v1})^{c_{v1}}} \left( \frac{(\gamma_2 - 1)c_{v2}}{(\gamma_1 - 1)c_{v1}} \right)^{(\gamma_2 - 1)c_{v2}} \exp(c_{v1}\gamma_1 - c_{v2}\gamma_2) \right]^{\frac{1}{(\gamma_1 - 1)c_{v1} - (\gamma_2 - 1)c_{v2}}} \\ A_2 = \left[ \frac{(c_{v2})^{c_{v2}}}{(c_{v1})^{c_{v1}}} \left( \frac{(\gamma_2 - 1)c_{v2}}{(\gamma_1 - 1)c_{v1}} \right)^{(\gamma_1 - 1)c_{v1}} \exp(c_{v1}\gamma_1 - c_{v2}\gamma_2) \right]^{\frac{1}{(\gamma_1 - 1)c_{v1} - (\gamma_2 - 1)c_{v2}}} \end{array} \right.$$

e  $(\tau, \varepsilon) \mapsto T^*$  è la temperatura di saturazione.

## TEMPERATURA DI SATURAZIONE

$T^*$  è definita implicitamente da  $f(T) = 0$  dove

$$\begin{aligned} f : (0, +\infty) &\rightarrow \mathbb{R} \\ T &\mapsto a_3 T^B + a_2 T^{B-1} + a_1 \end{aligned}$$

$$\begin{cases} a_1 := \tau (c_{v2} - c_{v1}), \\ a_2 := \varepsilon \left[ \frac{(\gamma_1 - 1)c_{v1}}{(\gamma_2 - 1)c_{v2}} - 1 \right] \left[ \frac{(c_{v2})^{c_{v2}}}{(c_{v1})^{c_{v1}}} \left( \frac{(\gamma_2 - 1)c_{v2}}{(\gamma_1 - 1)c_{v1}} \right)^{(\gamma_1 - 1)c_{v1}} \exp(c_{v1}\gamma_1 - c_{v2}\gamma_2) \right]^{\frac{1}{(\gamma_1 - 1)c_{v1} - (\gamma_2 - 1)c_{v2}}}, \\ a_3 := c_{v1} \left[ 1 - \frac{(\gamma_1 - 1)}{(\gamma_2 - 1)} \right] \left[ \frac{(c_{v2})^{c_{v2}}}{(c_{v1})^{c_{v1}}} \left( \frac{(\gamma_2 - 1)c_{v2}}{(\gamma_1 - 1)c_{v1}} \right)^{(\gamma_1 - 1)c_{v1}} \exp(c_{v1}\gamma_1 - c_{v2}\gamma_2) \right]^{\frac{1}{(\gamma_1 - 1)c_{v1} - (\gamma_2 - 1)c_{v2}}} \end{cases}$$

## TEMPERATURA DI SATURAZIONE

$T^*$  è definita implicitamente da  $f(T) = 0$  dove

$$\begin{aligned} f : (0, +\infty) &\rightarrow \mathbb{R} \\ T &\mapsto a_3 T^B + a_2 T^{B-1} + a_1 \end{aligned}$$

$$\begin{cases} a_1 := \tau (c_{v2} - c_{v1}), \\ a_2 := \varepsilon \left[ \frac{(\gamma_1 - 1)c_{v1}}{(\gamma_2 - 1)c_{v2}} - 1 \right] \left[ \frac{(c_{v2})^{c_{v2}}}{(c_{v1})^{c_{v1}}} \left( \frac{(\gamma_2 - 1)c_{v2}}{(\gamma_1 - 1)c_{v1}} \right)^{(\gamma_1 - 1)c_{v1}} \exp(c_{v1}\gamma_1 - c_{v2}\gamma_2) \right]^{\frac{1}{(\gamma_1 - 1)c_{v1} - (\gamma_2 - 1)c_{v2}}}, \\ a_3 := c_{v1} \left[ 1 - \frac{(\gamma_1 - 1)}{(\gamma_2 - 1)} \right] \left[ \frac{(c_{v2})^{c_{v2}}}{(c_{v1})^{c_{v1}}} \left( \frac{(\gamma_2 - 1)c_{v2}}{(\gamma_1 - 1)c_{v1}} \right)^{(\gamma_1 - 1)c_{v1}} \exp(c_{v1}\gamma_1 - c_{v2}\gamma_2) \right]^{\frac{1}{(\gamma_1 - 1)c_{v1} - (\gamma_2 - 1)c_{v2}}} \end{cases}$$

Inoltre l'equazione della curva di saturazione  $(\tau, \varepsilon) \mapsto P^*$  è

$$P^* = (T^*)^{\frac{(c_{v2}\gamma_2 - c_{v1}\gamma_1)}{(c_{v2}(\gamma_2 - 1) - c_{v1}(\gamma_1 - 1))}} \left[ \frac{((\gamma_2 - 1)^{(\gamma_2 - 1)} c_{v2}^{\gamma_2})^{c_{v2}}}{((\gamma_1 - 1)^{(\gamma_1 - 1)} c_{v1}^{\gamma_1})^{c_{v1}}} \exp(c_{v1}\gamma_1 - c_{v2}\gamma_2) \right]^{\frac{1}{(c_{v2}(\gamma_2 - 1) - c_{v1}(\gamma_1 - 1))}}$$

$\Rightarrow$  assenza punto critico (legge troppo semplice).

## UN ESEMPIO MONODIMENSIONALE

3 bolle di vapore immerse in acqua. Le due fasi sono inizialmente immobili. Creiamo artificialmente una compressione imponendo una velocità fittizia sulle maglie a sinistra al fine di simulare il movimento di un pistone. Si osserva che tale movimento va a generare un'onda di pressione che si muove da sinistra verso destra. Allorché raggiunge una bolla, essa va a perturbare l'equilibrio termomeccanico e le bolle di vapore si liquefanno.

### 2 gas perfetti

		LIQUIDO	VAPORE
$c_v$	$[\text{J} \cdot \text{kg}^{-1} \cdot \text{K}^{-1}]$	1816.2	1040.14
$\gamma$	$(= c_p/c_v)$	2.35	1.43

## UN ESEMPIO MONODIMENSIONALE

3 bolle di vapore immerse in acqua. Le due fasi sono inizialmente immobili. Creiamo artificialmente una compressione imponendo una velocità fittizia sulle maglie a sinistra al fine di simulare il movimento di un pistone. Si osserva che tale movimento va a generare un'onda di pressione che si muove da sinistra verso destra. Allorché raggiunge una bolla, essa va a perturbare l'equilibrio termomeccanico e le bolle di vapore si liquefanno.

### Dati iniziali del problema di Riemann

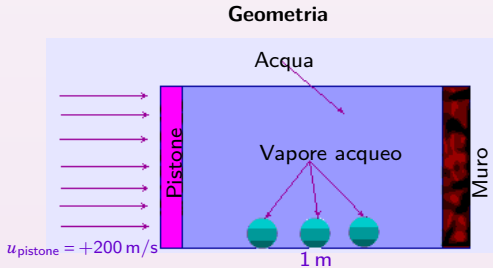
$T|_{t=0} = 400 \text{ K}$  in tutto il dominio

$(P, \tau_1, \tau_2)|_{t=0}(T)$  tali che ci sia EQUILIBRIO.

$u = 0 \text{ m/s}$  in ciascuna fase

## UN ESEMPIO MONODIMENSIONALE

3 bolle di vapore immerse in acqua. Le due fasi sono inizialmente immobili. Creiamo artificialmente una compressione imponendo una velocità fittizia sulle maglie a sinistra al fine di simulare il movimento di un pistone. Si osserva che tale movimento va a generare un'onda di pressione che si muove da sinistra verso destra. Allorché raggiunge una bolla, essa va a perturbare l'equilibrio termomeccanico e le bolle di vapore si liquefanno.



## UN ESEMPIO MONODIMENSIONALE

3 bolle di vapore immerse in acqua. Le due fasi sono inizialmente immobili. Creiamo artificialmente una compressione imponendo una velocità fittizia sulle maglie a sinistra al fine di simulare il movimento di un pistone. Si osserva che tale movimento va a generare un'onda di pressione che si muove da sinistra verso destra. Allorché raggiunge una bolla, essa va a perturbare l'equilibrio termomeccanico e le bolle di vapore si liquefanno.

### Profilo dell'interfaccia

$z = 1$       liquido

$0 < z < 1$     transizione

$z = 0$       vapore



## 1 CONTESTO ED OBIETTIVI

- Pressurized Water Reactor
- Crisi d'ebollizione

## 2 MODELLO DNS

- Notazioni e relazioni costitutive
- Transizioni di fase del 1°ordine
  - Ottimizzazione convessa
  - Piano bitangente ed involuppo concavo
- Cinematica del cambiamento di fase

## 3 SIMULAZIONE

- Rilassamento
- Schema numerico
- Esempio di legge di stato
  - Test

## 4 CONCLUSIONI & PROSPETTIVE

# RISULTATI

## MODELLIZZAZIONE

- **Scelte: interfaccia diffusa - “phase field”, correnti di flusso comprimibili.**
- Costruzione: consistenza con la termodinamica classica all'equilibrio, generalizzazione consistente con il modello isoterma/isentropico.
- Analisi completa delle proprietà dell'entropia d'equilibrio.
- Il sistema di Eulero associato è *strettamente iperbolico*,
- la velocità del suono è discontinua.

## APPROSSIMAZIONE

- Il sistema di Eulero è il rilassato di un modello più generale (a 5 o 6 equazioni).
- L'implicitazione della diffusione del calore non penalizza il passo temporale.
- Risoluzione “esatta” del cambiamento di fase (tappa di rilassamento-proiezione).
- Schema numerico valido per leggi tabulate.
- Studio completo del caso Gas Perfetto - Gas Perfetto.

## RISULTATI

### MODELLIZZAZIONE

- Scelte: interfaccia diffusa - “phase field”, correnti di flusso comprimibili.
- **Costruzione: consistenza con la termodinamica classica all'equilibrio, generalizzazione consistente con il modello isoterma/isentropico.**
- Analisi completa delle proprietà dell'entropia d'equilibrio.
- Il sistema di Eulero associato è *strettamente iperbolico*,
- la velocità del suono è discontinua.

### APPROSSIMAZIONE

- Il sistema di Eulero è il rilassato di un modello più generale (a 5 o 6 equazioni).
- L'implicitazione della diffusione del calore non penalizza il passo temporale.
- Risoluzione “esatta” del cambiamento di fase (tappa di rilassamento-proiezione).
- Schema numerico valido per leggi tabulate.
- Studio completo del caso Gas Perfetto - Gas Perfetto.

## RISULTATI

### MODELLIZZAZIONE

- Scelte: interfaccia diffusa - “phase field”, correnti di flusso comprimibili.
- Costruzione: consistenza con la termodinamica classica all'equilibrio, generalizzazione consistente con il modello isoterma/isentropico.
- **Analisi completa delle proprietà dell'entropia d'equilibrio.**
- Il sistema di Eulero associato è *strettamente iperbolico*,
- la velocità del suono è discontinua.

### APPROSSIMAZIONE

- Il sistema di Eulero è il rilassato di un modello più generale (a 5 o 6 equazioni).
- L'implicitazione della diffusione del calore non penalizza il passo temporale.
- Risoluzione “esatta” del cambiamento di fase (tappa di rilassamento-proiezione).
- Schema numerico valido per leggi tabulate.
- Studio completo del caso Gas Perfetto - Gas Perfetto.

## RISULTATI

### MODELLIZZAZIONE

- Scelte: interfaccia diffusa - “phase field”, correnti di flusso comprimibili.
- Costruzione: consistenza con la termodinamica classica all'equilibrio, generalizzazione consistente con il modello isoterma/isentropico.
- Analisi completa delle proprietà dell'entropia d'equilibrio.
- **Il sistema di Eulero associato è *strettamente iperbolico*,**
- la velocità del suono è discontinua.

### APPROSSIMAZIONE

- Il sistema di Eulero è il rilassato di un modello più generale (a 5 o 6 equazioni).
- L'implicitazione della diffusione del calore non penalizza il passo temporale.
- Risoluzione “esatta” del cambiamento di fase (tappa di rilassamento-proiezione).
- Schema numerico valido per leggi tabulate.
- Studio completo del caso Gas Perfetto - Gas Perfetto.

## RISULTATI

### MODELLIZZAZIONE

- Scelte: interfaccia diffusa - “phase field”, correnti di flusso comprimibili.
- Costruzione: consistenza con la termodinamica classica all'equilibrio, generalizzazione consistente con il modello isoterma/isentropico.
- Analisi completa delle proprietà dell'entropia d'equilibrio.
- Il sistema di Eulero associato è *strettamente iperbolico*,
- **la velocità del suono è discontinua.**

### APPROSSIMAZIONE

- Il sistema di Eulero è il rilassato di un modello più generale (a 5 o 6 equazioni).
- L'implicitazione della diffusione del calore non penalizza il passo temporale.
- Risoluzione “esatta” del cambiamento di fase (tappa di rilassamento-proiezione).
- Schema numerico valido per leggi tabulate.
- Studio completo del caso Gas Perfetto - Gas Perfetto.

## RISULTATI

### MODELLIZZAZIONE

- Scelte: interfaccia diffusa - “phase field”, correnti di flusso comprimibili.
- Costruzione: consistenza con la termodinamica classica all'equilibrio, generalizzazione consistente con il modello isoterma/isentropico.
- Analisi completa delle proprietà dell'entropia d'equilibrio.
- Il sistema di Eulero associato è *strettamente iperbolico*,
- la velocità del suono è discontinua.

### APPROSSIMAZIONE

- Il sistema di Eulero è il rilassato di un modello più generale (a 5 o 6 equazioni).
- L'implicitazione della diffusione del calore non penalizza il passo temporale.
- Risoluzione “esatta” del cambiamento di fase (tappa di rilassamento-proiezione).
- Schema numerico valido per leggi tabulate.
- Studio completo del caso Gas Perfetto - Gas Perfetto.

## RISULTATI

### MODELLIZZAZIONE

- Scelte: interfaccia diffusa - “phase field”, correnti di flusso comprimibili.
- Costruzione: consistenza con la termodinamica classica all'equilibrio, generalizzazione consistente con il modello isoterma/isentropico.
- Analisi completa delle proprietà dell'entropia d'equilibrio.
- Il sistema di Eulero associato è *strettamente iperbolico*,
- la velocità del suono è discontinua.

### APPROSSIMAZIONE

- Il sistema di Eulero è il rilassato di un modello più generale (a 5 o 6 equazioni).
- L'implicitazione della diffusione del calore non penalizza il passo temporale.
- Risoluzione “esatta” del cambiamento di fase (tappa di rilassamento-proiezione).
- Schema numerico valido per leggi tabulate.
- Studio completo del caso Gas Perfetto - Gas Perfetto.



## RISULTATI

### MODELLIZZAZIONE

- Scelte: interfaccia diffusa - “phase field”, correnti di flusso comprimibili.
- Costruzione: consistenza con la termodinamica classica all'equilibrio, generalizzazione consistente con il modello isoterma/isentropico.
- Analisi completa delle proprietà dell'entropia d'equilibrio.
- Il sistema di Eulero associato è *strettamente iperbolico*,
- la velocità del suono è discontinua.

### APPROSSIMAZIONE

- Il sistema di Eulero è il rilassato di un modello più generale (a 5 o 6 equazioni).
- L'implicitazione della diffusione del calore non penalizza il passo temporale.
- Risoluzione “esatta” del cambiamento di fase (tappa di rilassamento-proiezione).
- Schema numerico valido per leggi tabulate.
- Studio completo del caso Gas Perfetto - Gas Perfetto.

## RISULTATI

### MODELLIZZAZIONE

- Scelte: interfaccia diffusa - “phase field”, correnti di flusso comprimibili.
- Costruzione: consistenza con la termodinamica classica all'equilibrio, generalizzazione consistente con il modello isoterma/isentropico.
- Analisi completa delle proprietà dell'entropia d'equilibrio.
- Il sistema di Eulero associato è *strettamente iperbolico*,
- la velocità del suono è discontinua.

### APPROSSIMAZIONE

- Il sistema di Eulero è il rilassato di un modello più generale (a 5 o 6 equazioni).
- L'implicitazione della diffusione del calore non penalizza il passo temporale.
- **Risoluzione “esatta” del cambiamento di fase (tappa di rilassamento-proiezione).**
- Schema numerico valido per leggi tabulate.
- Studio completo del caso Gas Perfetto - Gas Perfetto.

## RISULTATI

### MODELLIZZAZIONE

- Scelte: interfaccia diffusa - “phase field”, correnti di flusso comprimibili.
- Costruzione: consistenza con la termodinamica classica all'equilibrio, generalizzazione consistente con il modello isoterma/isentropico.
- Analisi completa delle proprietà dell'entropia d'equilibrio.
- Il sistema di Eulero associato è *strettamente iperbolico*,
- la velocità del suono è discontinua.

### APPROSSIMAZIONE

- Il sistema di Eulero è il rilassato di un modello più generale (a 5 o 6 equazioni).
- L'implicitazione della diffusione del calore non penalizza il passo temporale.
- Risoluzione “esatta” del cambiamento di fase (tappa di rilassamento-proiezione).
- **Schema numerico valido per leggi tabulate.**
- Studio completo del caso Gas Perfetto - Gas Perfetto.

## RISULTATI

### MODELLIZZAZIONE

- Scelte: interfaccia diffusa - “phase field”, correnti di flusso comprimibili.
- Costruzione: consistenza con la termodinamica classica all'equilibrio, generalizzazione consistente con il modello isoterma/isentropico.
- Analisi completa delle proprietà dell'entropia d'equilibrio.
- Il sistema di Eulero associato è *strettamente iperbolico*,
- la velocità del suono è discontinua.

### APPROSSIMAZIONE

- Il sistema di Eulero è il rilassato di un modello più generale (a 5 o 6 equazioni).
- L'implicitazione della diffusione del calore non penalizza il passo temporale.
- Risoluzione “esatta” del cambiamento di fase (tappa di rilassamento-proiezione).
- Schema numerico valido per leggi tabulate.
- Studio completo del caso Gas Perfetto - Gas Perfetto.

## ONGOING & TO DO

### MODELLIZZAZIONE

- legame con un modello a 7 equazioni (V. Guillemand - J.M Herard), con il metodo del secondo gradiente (D. Jamet), con un altro metodo phase field (P. Ruyer - Truskinovsky);
- metastabilità (Liu, S. Kokh);
- tensione di superficie, angolo di contatto con la parete;
- ricerca di un modello di coalescenza;
- studio del problema di Riemann (onde. . .) (N. Seguin, E. Godlewsky);
- studio del limite  $\mu_i \rightarrow +\infty$  (N. Seguin, S. Kokh);
- punto triplo (ok) e punto critico (trans. del 2°ordine);
- gravità, instabilità di Bénard-Rayleigh . . .

### APPROSSIMAZIONE

- QHull3D per inviluppo concavo e/o inf-convoluzione tramite trasformata di Legendre ( $\approx 3 \times \text{Leg3D} = 3 \times 3 \times \text{QHull1D}$ )
- tappa convettiva: 6 equazioni o variante 5 equazioni (VRoe, Lagoutière, varianti algoritmo Allaire-Clerc-Kokh)
- confronto con esperienze concrete di laboratorio
- griglie non strutturate
- (S. Kokh) da 2D a 3D, (TRITON, codice parallelo)

## ONGOING & TO DO

### MODELLIZZAZIONE

- legame con un modello a 7 equazioni (V. Guillemand - J.M Herard), con il metodo del secondo gradiente (D. Jamet), con un altro metodo phase field (P. Ruyer - Truskinovsky);
- **metastabilità (Liu, S. Kokh);**
- tensione di superficie, angolo di contatto con la parete;
- ricerca di un modello di coalescenza;
- studio del problema di Riemann (onde. . .) (N. Seguin, E. Godlewsky);
- studio del limite  $\mu_i \rightarrow +\infty$  (N. Seguin, S. Kokh);
- punto triplo (ok) e punto critico (trans. del 2°ordine);
- gravità, instabilità di Bénard-Rayleigh . . .

### APPROSSIMAZIONE

- QHull3D per inviluppo concavo e/o inf-convoluzione tramite trasformata di Legendre ( $\approx 3 \times \text{Leg3D} = 3 \times 3 \times \text{QHull1D}$ )
- tappa convettiva: 6 equazioni o variante 5 equazioni (VRoe, Lagoutière, varianti algoritmo Allaire-Clerc-Kokh)
- confronto con esperienze concrete di laboratorio
- griglie non strutturate
- (S. Kokh) da 2D a 3D, (TRITON, codice parallelo)

## ONGOING & TO DO

### MODELLIZZAZIONE

- legame con un modello a 7 equazioni (V. Guillemand - J.M Herard), con il metodo del secondo gradiente (D. Jamet), con un altro metodo phase field (P. Ruyer - Truskinovsky);
- metastabilità (Liu, S. Kokh);
- **tensione di superficie, angolo di contatto con la parete;**
- ricerca di un modello di coalescenza;
- studio del problema di Riemann (onde. . .) (N. Seguin, E. Godlewsky);
- studio del limite  $\mu_i \rightarrow +\infty$  (N. Seguin, S. Kokh);
- punto triplo (ok) e punto critico (trans. del 2°ordine);
- gravità, instabilità di Bénard-Rayleigh . . .

### APPROSSIMAZIONE

- QHull3D per inviluppo concavo e/o inf-convoluzione tramite trasformata di Legendre ( $\approx 3 \times \text{Leg3D} = 3 \times 3 \times \text{QHull1D}$ )
- tappa convettiva: 6 equazioni o variante 5 equazioni (VRoe, Lagoutière, varianti algoritmo Allaire-Clerc-Kokh)
- confronto con esperienze concrete di laboratorio
- griglie non strutturate
- (S. Kokh) da 2D a 3D, (TRITON, codice parallelo)

## ONGOING & TO DO

### MODELLIZZAZIONE

- legame con un modello a 7 equazioni (V. Guillemand - J.M Herard), con il metodo del secondo gradiente (D. Jamet), con un altro metodo phase field (P. Ruyer - Truskinovsky);
- metastabilità (Liu, S. Kokh);
- tensione di superficie, angolo di contatto con la parete;
- **ricerca di un modello di coalescenza;**
- studio del problema di Riemann (onde. . .) (N. Seguin, E. Godlewsky);
- studio del limite  $\mu_i \rightarrow +\infty$  (N. Seguin, S. Kokh);
- punto triplo (ok) e punto critico (trans. del 2°ordine);
- gravità, instabilità di Bénard-Rayleigh . . .

### APPROSSIMAZIONE

- QHull3D per inviluppo concavo e/o inf-convoluzione tramite trasformata di Legendre ( $\approx 3 \times \text{Leg3D} = 3 \times 3 \times \text{QHull1D}$ )
- tappa convettiva: 6 equazioni o variante 5 equazioni (VRoe, Lagoutière, varianti algoritmo Allaire-Clerc-Kokh)
- confronto con esperienze concrete di laboratorio
- griglie non strutturate
- (S. Kokh) da 2D a 3D, (TRITON, codice parallelo)



## ONGOING & TO DO

### MODELLIZZAZIONE

- legame con un modello a 7 equazioni (V. Guillemand - J.M Herard), con il metodo del secondo gradiente (D. Jamet), con un altro metodo phase field (P. Ruyer - Truskinovsky);
- metastabilità (Liu, S. Kokh);
- tensione di superficie, angolo di contatto con la parete;
- ricerca di un modello di coalescenza;
- studio del problema di Riemann (onde. . .) (N. Seguin, E. Godlewsky);
- studio del limite  $\mu_i \rightarrow +\infty$  (N. Seguin, S. Kokh);
- punto triplo (ok) e punto critico (trans. del 2°ordine);
- gravità, instabilità di Bénard-Rayleigh . . .

### APPROSSIMAZIONE

- QHull3D per inviluppo concavo e/o inf-convoluzione tramite trasformata di Legendre ( $\approx 3 \times \text{Leg3D} = 3 \times 3 \times \text{QHull1D}$ )
- tappa convettiva: 6 equazioni o variante 5 equazioni (VRoe, Lagoutière, varianti algoritmo Allaire-Clerc-Kokh)
- confronto con esperienze concrete di laboratorio
- griglie non strutturate
- (S. Kokh) da 2D a 3D, (TRITON, codice parallelo)

## ONGOING & TO DO

### MODELLIZZAZIONE

- legame con un modello a 7 equazioni (V. Guillemand - J.M Herard), con il metodo del secondo gradiente (D. Jamet), con un altro metodo phase field (P. Ruyer - Truskinovsky);
- metastabilità (Liu, S. Kokh);
- tensione di superficie, angolo di contatto con la parete;
- ricerca di un modello di coalescenza;
- studio del problema di Riemann (onde. . .) (N. Seguin, E. Godlewsky);
- studio del limite  $\mu_i \rightarrow +\infty$  (N. Seguin, S. Kokh);
- punto triplo (ok) e punto critico (trans. del 2°ordine);
- gravità, instabilità di Bénard-Rayleigh . . .

### APPROSSIMAZIONE

- QHull3D per inviluppo concavo e/o inf-convoluzione tramite trasformata di Legendre ( $\approx 3 \times \text{Leg3D} = 3 \times 3 \times \text{QHull1D}$ )
- tappa convettiva: 6 equazioni o variante 5 equazioni (VRoe, Lagoutière, varianti algoritmo Allaire-Clerc-Kokh)
- confronto con esperienze concrete di laboratorio
- griglie non strutturate
- (S. Kokh) da 2D a 3D, (TRITON, codice parallelo)

## ONGOING & TO DO

### MODELLIZZAZIONE

- legame con un modello a 7 equazioni (V. Guillemand - J.M Herard), con il metodo del secondo gradiente (D. Jamet), con un altro metodo phase field (P. Ruyer - Truskinovsky);
- metastabilità (Liu, S. Kokh);
- tensione di superficie, angolo di contatto con la parete;
- ricerca di un modello di coalescenza;
- studio del problema di Riemann (onde. . .) (N. Seguin, E. Godlewsky);
- studio del limite  $\mu_i \rightarrow +\infty$  (N. Seguin, S. Kokh);
- punto triplo (ok) e punto critico (trans. del 2°ordine);
- gravità, instabilità di Bénard-Rayleigh . . .

### APPROSSIMAZIONE

- QHull3D per inviluppo concavo e/o inf-convoluzione tramite trasformata di Legendre ( $\approx 3 \times \text{Leg3D} = 3 \times 3 \times \text{QHull1D}$ )
- tappa convettiva: 6 equazioni o variante 5 equazioni (VRoe, Lagoutière, varianti algoritmo Allaire-Clerc-Kokh)
- confronto con esperienze concrete di laboratorio
- griglie non strutturate
- (S. Kokh) da 2D a 3D, (TRITON, codice parallelo)

## ONGOING & TO DO

### MODELLIZZAZIONE

- legame con un modello a 7 equazioni (V. Guillemand - J.M Herard), con il metodo del secondo gradiente (D. Jamet), con un altro metodo phase field (P. Ruyer - Truskinovsky);
- metastabilità (Liu, S. Kokh);
- tensione di superficie, angolo di contatto con la parete;
- ricerca di un modello di coalescenza;
- studio del problema di Riemann (onde. . .) (N. Seguin, E. Godlewsky);
- studio del limite  $\mu_i \rightarrow +\infty$  (N. Seguin, S. Kokh);
- punto triplo (ok) e punto critico (trans. del 2°ordine);
- **gravità, instabilità di Bénard-Rayleigh . . .**

### APPROSSIMAZIONE

- QHull3D per inviluppo concavo e/o inf-convoluzione tramite trasformata di Legendre ( $\approx 3 \times \text{Leg3D} = 3 \times 3 \times \text{QHull1D}$ )
- tappa convettiva: 6 equazioni o variante 5 equazioni (VRoe, Lagoutière, varianti algoritmo Allaire-Clerc-Kokh)
- confronto con esperienze concrete di laboratorio
- griglie non strutturate
- (S. Kokh) da 2D a 3D, (TRITON, codice parallelo)

## ONGOING & TO DO

### MODELLIZZAZIONE

- legame con un modello a 7 equazioni (V. Guillemand - J.M Herard), con il metodo del secondo gradiente (D. Jamet), con un altro metodo phase field (P. Ruyer - Truskinovsky);
- metastabilità (Liu, S. Kokh);
- tensione di superficie, angolo di contatto con la parete;
- ricerca di un modello di coalescenza;
- studio del problema di Riemann (onde. . .) (N. Seguin, E. Godlewsky);
- studio del limite  $\mu_i \rightarrow +\infty$  (N. Seguin, S. Kokh);
- punto triplo (ok) e punto critico (trans. del 2°ordine);
- gravità, instabilità di Bénard-Rayleigh . . .

### APPROSSIMAZIONE

- QHull3D per inviluppo concavo e/o inf-convoluzione tramite trasformata di Legendre ( $\approx 3 \times \text{Leg3D} = 3 \times 3 \times \text{QHull1D}$ )
- tappa convettiva: 6 equazioni o variante 5 equazioni (VRoe, Lagoutière, varianti algoritmo Allaire-Clerc-Kokh)
- confronto con esperienze concrete di laboratorio
- griglie non strutturate
- (S. Kokh) da 2D a 3D, (TRITON, codice parallelo)

## ONGOING & TO DO

### MODELLIZZAZIONE

- legame con un modello a 7 equazioni (V. Guillemand - J.M Herard), con il metodo del secondo gradiente (D. Jamet), con un altro metodo phase field (P. Ruyer - Truskinovsky);
- metastabilità (Liu, S. Kokh);
- tensione di superficie, angolo di contatto con la parete;
- ricerca di un modello di coalescenza;
- studio del problema di Riemann (onde. . .) (N. Seguin, E. Godlewsky);
- studio del limite  $\mu_i \rightarrow +\infty$  (N. Seguin, S. Kokh);
- punto triplo (ok) e punto critico (trans. del 2°ordine);
- gravità, instabilità di Bénard-Rayleigh . . .

### APPROSSIMAZIONE

- QHull3D per inviluppo concavo e/o inf-convoluzione tramite trasformata di Legendre ( $\approx 3 \times \text{Leg3D} = 3 \times 3 \times \text{QHull1D}$ )
- tappa convettiva: 6 equazioni o variante 5 equazioni (VRoe, Lagoutière, varianti algoritmo Allaire-Clerc-Kokh)
- confronto con esperienze concrete di laboratorio
- griglie non strutturate
- (S. Kokh) da 2D a 3D, (TRITON, codice parallelo)

## ONGOING & TO DO

### MODELLIZZAZIONE

- legame con un modello a 7 equazioni (V. Guillemand - J.M Herard), con il metodo del secondo gradiente (D. Jamet), con un altro metodo phase field (P. Ruyer - Truskinovsky);
- metastabilità (Liu, S. Kokh);
- tensione di superficie, angolo di contatto con la parete;
- ricerca di un modello di coalescenza;
- studio del problema di Riemann (onde. . .) (N. Seguin, E. Godlewsky);
- studio del limite  $\mu_i \rightarrow +\infty$  (N. Seguin, S. Kokh);
- punto triplo (ok) e punto critico (trans. del 2°ordine);
- gravità, instabilità di Bénard-Rayleigh . . .

### APPROSSIMAZIONE

- QHull3D per inviluppo concavo e/o inf-convoluzione tramite trasformata di Legendre ( $\approx 3 \times \text{Leg3D} = 3 \times 3 \times \text{QHull1D}$ )
- **tappa convettiva: 6 equazioni o variante 5 equazioni (VRoe, Lagoutière, varianti algoritmo Allaire-Clerc-Kokh)**
- confronto con esperienze concrete di laboratorio
- griglie non strutturate
- (S. Kokh) da 2D a 3D, (TRITON, codice parallelo)

## ONGOING & TO DO

### MODELLIZZAZIONE

- legame con un modello a 7 equazioni (V. Guillemand - J.M Herard), con il metodo del secondo gradiente (D. Jamet), con un altro metodo phase field (P. Ruyer - Truskinovsky);
- metastabilità (Liu, S. Kokh);
- tensione di superficie, angolo di contatto con la parete;
- ricerca di un modello di coalescenza;
- studio del problema di Riemann (onde. . .) (N. Seguin, E. Godlewsky);
- studio del limite  $\mu_i \rightarrow +\infty$  (N. Seguin, S. Kokh);
- punto triplo (ok) e punto critico (trans. del 2° ordine);
- gravità, instabilità di Bénard-Rayleigh . . .

### APPROSSIMAZIONE

- QHull3D per inviluppo concavo e/o inf-convoluzione tramite trasformata di Legendre ( $\approx 3 \times \text{Leg3D} = 3 \times 3 \times \text{QHull1D}$ )
- tappa convettiva: 6 equazioni o variante 5 equazioni (VRoe, Lagoutière, varianti algoritmo Allaire-Clerc-Kokh)
- **confronto con esperienze concrete di laboratorio**
  - griglie non strutturate
  - (S. Kokh) da 2D a 3D, (TRITON, codice parallelo)



## ONGOING & TO DO

### MODELLIZZAZIONE

- legame con un modello a 7 equazioni (V. Guillemand - J.M Herard), con il metodo del secondo gradiente (D. Jamet), con un altro metodo phase field (P. Ruyer - Truskinovsky);
- metastabilità (Liu, S. Kokh);
- tensione di superficie, angolo di contatto con la parete;
- ricerca di un modello di coalescenza;
- studio del problema di Riemann (onde. . .) (N. Seguin, E. Godlewsky);
- studio del limite  $\mu_i \rightarrow +\infty$  (N. Seguin, S. Kokh);
- punto triplo (ok) e punto critico (trans. del 2°ordine);
- gravità, instabilità di Bénard-Rayleigh . . .

### APPROSSIMAZIONE

- QHull3D per inviluppo concavo e/o inf-convoluzione tramite trasformata di Legendre ( $\approx 3 \times \text{Leg3D} = 3 \times 3 \times \text{QHull1D}$ )
- tappa convettiva: 6 equazioni o variante 5 equazioni (VRoe, Lagoutière, varianti algoritmo Allaire-Clerc-Kokh)
- confronto con esperienze concrete di laboratorio
- **griglie non strutturate**
- (S. Kokh) da 2D a 3D, (TRITON, codice parallelo)

## ONGOING & TO DO

### MODELLIZZAZIONE

- legame con un modello a 7 equazioni (V. Guillemand - J.M Herard), con il metodo del secondo gradiente (D. Jamet), con un altro metodo phase field (P. Ruyer - Truskinovsky);
- metastabilità (Liu, S. Kokh);
- tensione di superficie, angolo di contatto con la parete;
- ricerca di un modello di coalescenza;
- studio del problema di Riemann (onde. . .) (N. Seguin, E. Godlewsky);
- studio del limite  $\mu_i \rightarrow +\infty$  (N. Seguin, S. Kokh);
- punto triplo (ok) e punto critico (trans. del 2° ordine);
- gravità, instabilità di Bénard-Rayleigh . . .

### APPROSSIMAZIONE

- QHull3D per inviluppo concavo e/o inf-convoluzione tramite trasformata di Legendre ( $\approx 3 \times \text{Leg3D} = 3 \times 3 \times \text{QHull1D}$ )
- tappa convettiva: 6 equazioni o variante 5 equazioni (VRoe, Lagoutière, varianti algoritmo Allaire-Clerc-Kokh)
- confronto con esperienze concrete di laboratorio
- griglie non strutturate
- (S. Kokh) da 2D a 3D, (TRITON, codice parallelo)

**Grazie per l'attenzione**

## DIMOSTRAZIONE.

① The existence of the segment  $r_{12}$  follows from proposition. We prove the uniqueness:  $s_\alpha$  is strictly concave and increasing according to  $\tau$  and  $\varepsilon$  then there is a bijection with  $(P, T)$  and  $\vec{w}_\alpha$ .

If  $\tilde{r}_{12} = ((\tilde{w}_1^*, \tilde{s}_1^*), (\tilde{w}_2^*, \tilde{s}_2^*))$  is such that  $(\vec{w}, s^{\text{eq}}(\vec{w})) \in r_{12} \cap \tilde{r}_{12}$ , as  $(P, T, g)$  are constant along  $r_{12}$  and  $\tilde{r}_{12}$ , we have  $\vec{w}_\alpha^* = \tilde{w}_\alpha^*$  and consequently  $r_{12} = \tilde{r}_{12}$ . □

◀ Return

## DIMOSTRAZIONE.

② The jump of specific volume, energy and entropy implies that for every point  $(\vec{w}, s^{\text{eq}}(\vec{w}))$  in the saturation zone we have  $0 < y^* < 1$ ,  $\tau_1^* \neq \tau_2^*$ ,  $\varepsilon_1^* \neq \varepsilon_2^*$ ,  $s_1^* \neq s_2^*$ .

Along  $\tau_{12}(\vec{w})$ ,  $(P, T, g)$  are constant, then we have

$$0 = d(P/T) = s_{T\varepsilon}^{\text{eq}}(\varepsilon_1^* - \varepsilon_2^*) + s_{TT}^{\text{eq}}(\tau_1^* - \tau_2^*) \text{ and}$$

$$0 = d(1/T) = s_{\varepsilon\varepsilon}^{\text{eq}}(\varepsilon_1^* - \varepsilon_2^*) + s_{\tau\varepsilon}^{\text{eq}}(\tau_1^* - \tau_2^*).$$



◀ Return

## DIMOSTRAZIONE.

③ By contradiction: let  $\vec{w}$  be a saturated state such that  $s_{T_1}^{\text{eq}}(\vec{w}) = 0$ . By relations ②, the Hessian matrix is null, i.e.  $d^2 s^{\text{eq}}(\vec{w}) = \begin{pmatrix} 0 & 0 \\ 0 & 0 \end{pmatrix}$ . We note  $(P_\alpha, T_\alpha, g_\alpha)(\vec{w}) = (\bar{P}, \bar{T}, \bar{g})$  for  $\alpha = 1, 2$ . We consider a regular  $\mathcal{C}^2$  curve in  $\mathcal{S}$  parameterized by  $t \in [-1, 1] \rightarrow (\vec{w}, \gamma = s^{\text{eq}}(\vec{w}))(t)$  such that  $\vec{w}(0) = \vec{w}$ .

We have  $\gamma''(0) = ds^{\text{eq}}(\vec{w}) \frac{d^2 \vec{w}(0)}{dt^2} + \left( \frac{d\vec{w}(0)}{dt} \right)^T d^2 s^{\text{eq}}(\vec{w}) \frac{d\vec{w}(0)}{dt} = ds^{\text{eq}}(\vec{w}) \frac{d^2 \vec{w}(0)}{dt^2}$ .

Moreover there exist  $\mathcal{C}^2$  smooth functions  $t \mapsto (y_\alpha^*, \vec{w}_\alpha^*)(t)$  such that  $(\vec{w}, \gamma)(t) = \sum_\alpha y_\alpha^* (\vec{w}_\alpha^*, s_\alpha^*(\vec{w}_\alpha^*)) (t)$  where  $y_1^* = y^*$  and  $y_2^* = 1 - y^*$ . We have

$\frac{d^2 \vec{w}}{dt^2} = \sum_\alpha \left( \frac{d^2 y_\alpha^*}{dt^2} \vec{w}_\alpha^* + 2 \frac{dy_\alpha^*}{dt} \frac{d\vec{w}_\alpha^*}{dt} + y_\alpha^* \frac{d^2 \vec{w}_\alpha^*}{dt^2} \right)$  and

$\gamma''(t) = \sum_\alpha \left[ \frac{d^2 y_\alpha^*}{dt^2} s_\alpha^* + 2 \frac{dy_\alpha^*}{dt} ds_\alpha^* \frac{d\vec{w}_\alpha^*}{dt} + y_\alpha^* ds_\alpha^* \frac{d^2 \vec{w}_\alpha^*}{dt^2} + y_\alpha^* \left( \frac{d\vec{w}_\alpha^*}{dt} \right)^T d^2 s_\alpha^* \frac{d\vec{w}_\alpha^*}{dt} \right] (t)$ .

This implies

$\gamma''(0) = ds^{\text{eq}}(\vec{w}) \frac{d^2 \vec{w}(0)}{dt^2} + \frac{d^2 y^*}{dt^2} \left( \frac{g_1}{T_1} - \frac{g_2}{T_2} \right) + \sum_\alpha \left( y_\alpha^* \left( \frac{d\vec{w}_\alpha^*}{dt} \right)^T d^2 s_\alpha^* \frac{d\vec{w}_\alpha^*}{dt} \right)$  since

$ds_\alpha^*(\vec{w}_\alpha^*(0)) = ds^{\text{eq}}(\vec{w}(0)) = \left( \frac{1}{\bar{T}}, \frac{\bar{P}}{\bar{T}} \right)$ . Consequently, as  $\frac{g_\alpha}{T_\alpha} = \frac{\bar{g}}{\bar{T}}$ , we have

$\sum_\alpha \left( y_\alpha^* \left( \frac{d\vec{w}_\alpha^*}{dt} \right)^T d^2 s_\alpha^* \frac{d\vec{w}_\alpha^*}{dt} \right) = 0$  which is impossible. □

## DIMOSTRAZIONE.

④ This point follows from  $0 = g_1 - g_2 = (\varepsilon_1^* - \varepsilon_2^*) + P(\tau_1^* - \tau_2^*) - T(s_1^* - s_2^*)$ .



← Return